

ANEXOS

Espectro y estados localizados en sistemas
fermiónicos compuestos

Índice

1. ANEXO I: Códigos	2
1.1. Espectro metal	2
1.2. Unión dos metales	2
1.3. Espectro aislante	3
1.4. Cálculo localización	3
1.5. Cálculo distribución	4
1.6. Cálculo penetración	5
2. ANEXO II: Evolución estado de máxima energía, sistema metal-metal	8
3. ANEXO III: Gráficas distribución	23
4. ANEXO IV: Evolución estado máxima energía	37
5. ANEXO V: Casos concretos de la localización	43
6. ANEXO VI: Anchura de la transición variable con N	44
7. ANEXO VII: Derivada de la energía en función del contacto	45
8. ANEXO VIII: Evolución del gap para N = 600	46

1. ANEXO I: Códigos

```
#Definir primero num = longitud de la cadena; t0, t1, t2
# Y en el caso de los aislantes: δ
```

1.1. Espectro metal

```
M = zeros(num);
[filas, columnas] = size(M)
for j=1:columnas-1
M(j,j+1)=t1;
end
for i=1:filas-1
M(i+1,i) = t1;
end
#Condiciones periodicas
M(1,columnas) = t1;
M(filas, 1) = t1;
E1des = eig(M);
```

1.2. Unión dos metales

```
A = zeros(num);
#metal 1
for j=1:columnas/2-1
A(j,j+1)=t1;
end
for i=1:filas/2-1
A(i+1,i) = t1;
end
#INTERSECCION
A(filas/2, columnas/2+1) = t0;
A(filas/2+1, columnas/2) = t0;
#metal 2
for k=columnas/2+1:columnas-1
A(k,k+1)=t2;
```

```

end
for l=filas/2+1: filas-1
A(l+1,l)=t2;
end
#Condiciones periódicas
A(1,columnas) = t0;
A(filas, 1) = t0;
Eb = eig(A);

```

1.3. Espectro aislante

```

A1 = zeros(num);
[filas, columnas] = size(A1);
for j=1:columnas-1
A1(j,j+1)=t1+(-1)^(j+1)*delta1;
end
for i=1:filas-1
A1(i+1,i) = t1+(-1)^(i+1)*delta1;
end
A1(1, columnas)= t1+(-1)^(filas+1)*delta1;
A1(filas, 1) = t1+(-1)^(filas+1)*delta1;
E1des = eig(A1);
# Unión metal-aislante y aislante-aislante análoga a metal-metal.

```

1.4. Cálculo localización

```

[vect, diag] = eig(A);
#denominador
for indice=1:num
denominador(indice) = 0;
end
for columna = 1:num
for fila = 1:num
denominador(columna) = denominador(columna) + vect(fila, columna)*vect(fila,columna);
end

```

```

end
#numerador
for indice=1:num
numerador1(indice) = 0;
numerador2(indice) = 0;
end
for columna = 1:num
for indiced=100:199
numerador1(columna) = numerador1(columna) + vect(indiced, columna)*vect(indiced,columna);
numerador2(columna) = numerador2(columna) + vect(indiced+300, columna)*vect(indiced+300,columna);
end
end
numerador = numerador1 + numerador2;
for ii = 1:num
localizacion(ii) = numerador(ii)/denominador(ii);
end

```

1.5. Cálculo distribución

```

[vect, diag] = eig(J);
for indice=1:num
energias(indice) = diag(indice, indice);
end
#vector con energias
for indice=1:num
energias(indice) = diag(indice, indice);
end
#denominador for indice=1:num
denominador(indice) = 0;
end
for columna = 1:num
for fila = 1:num
denominador(columna) = denominador(columna) + vect(fila, columna)*vect(fila,columna);
end

```

```

end
num6 = num/6;
#numerador
for indice=1:num
numerador1(indice) = 0;
numerador2(indice) = 0;
end
for columna = 1:num
for indiced=1:(num/2)
numerador1(columna) = numerador1(columna) + vect(indiced, columna)*vect(indiced,columna);
numerador2(columna) = numerador2(columna) +
+ vect(indiced+num/2, columna)*vect(indiced+num/2,columna);
end
end
numerador2menos = -numerador2;
distribucion = numerador1 + numerador2menos;

```

1.6. Cálculo penetración

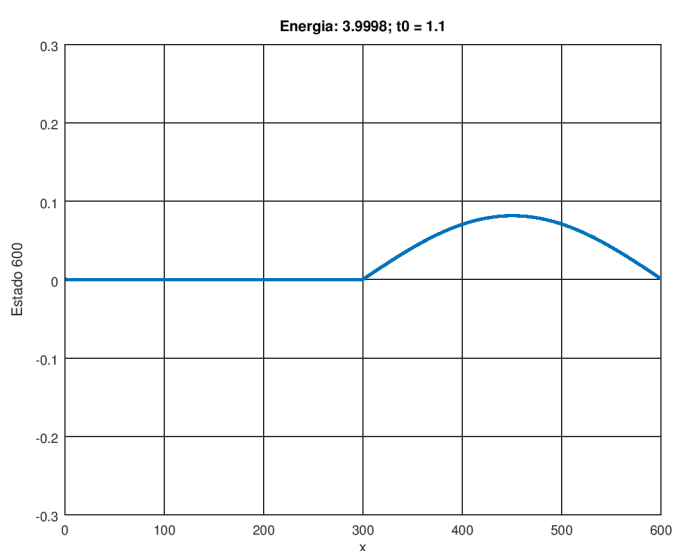
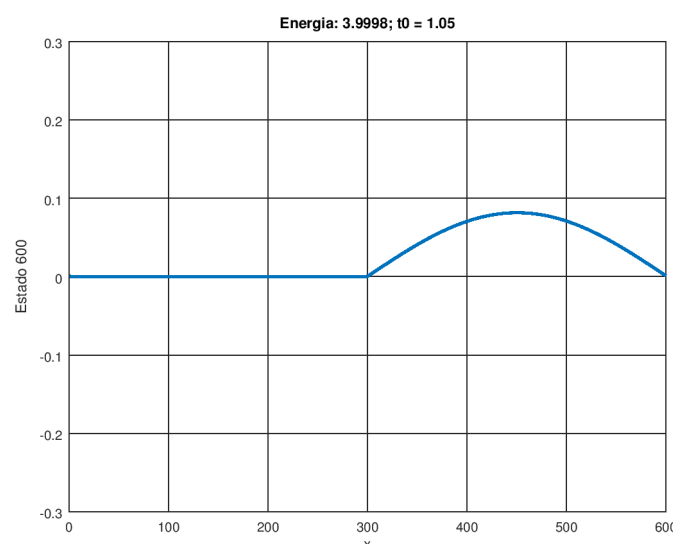
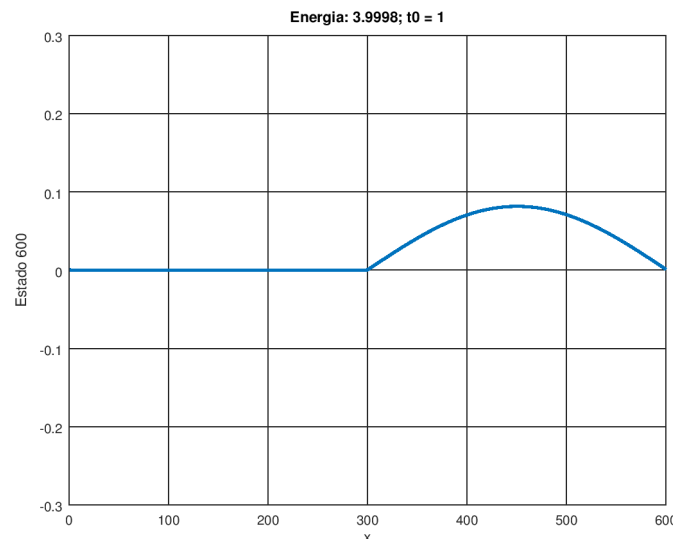
```

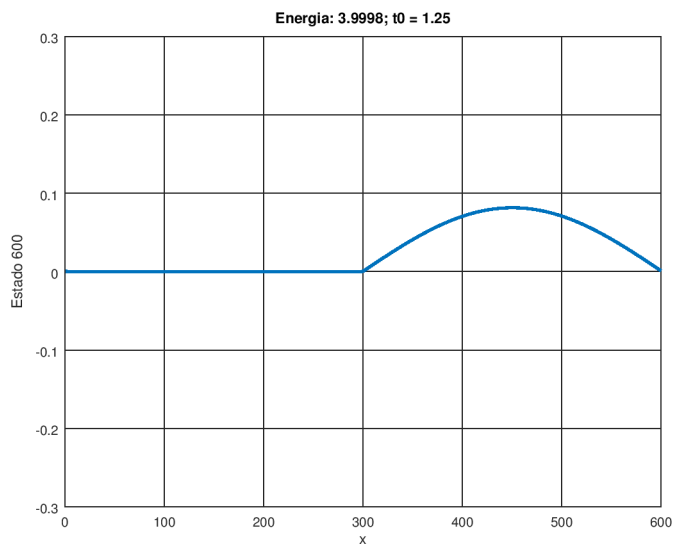
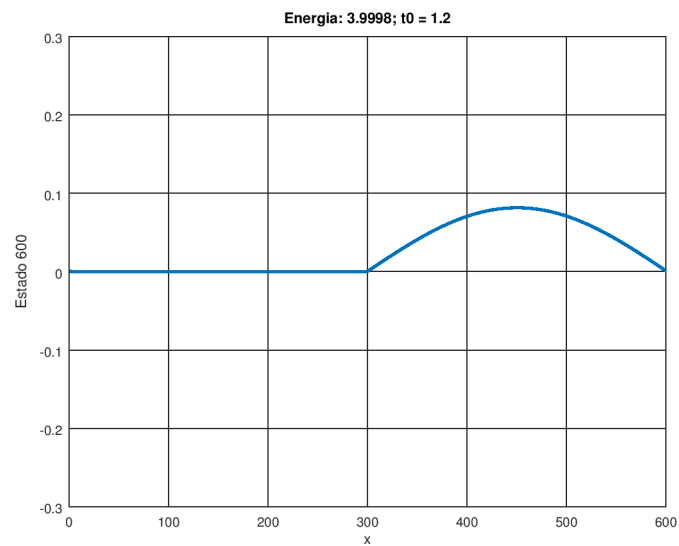
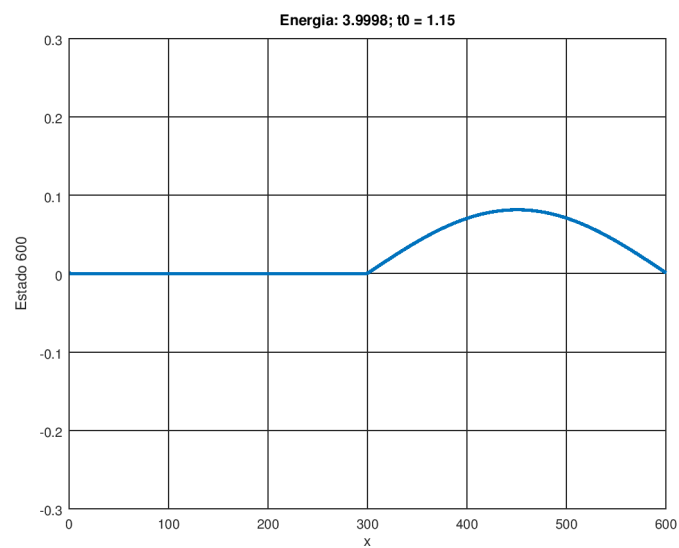
[vect, diag] = eig(J);
for indice=1:num
energias(indice) = diag(indice, indice);
end
#demonidador
for indice=1:num
denominador(indice) = 0;
end
for columna = 1:num
for fila = 1:num
denominador(columna) = denominador(columna) + vect(fila, columna)*vect(fila,columna);
end
end
num6 = num/6;
#numerador

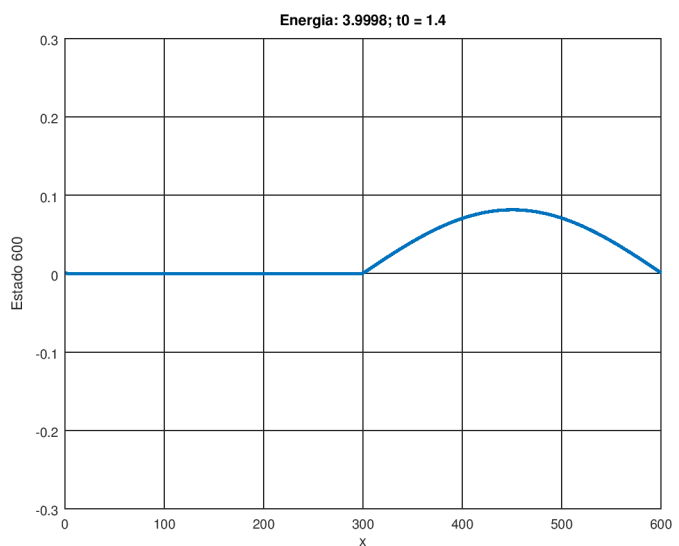
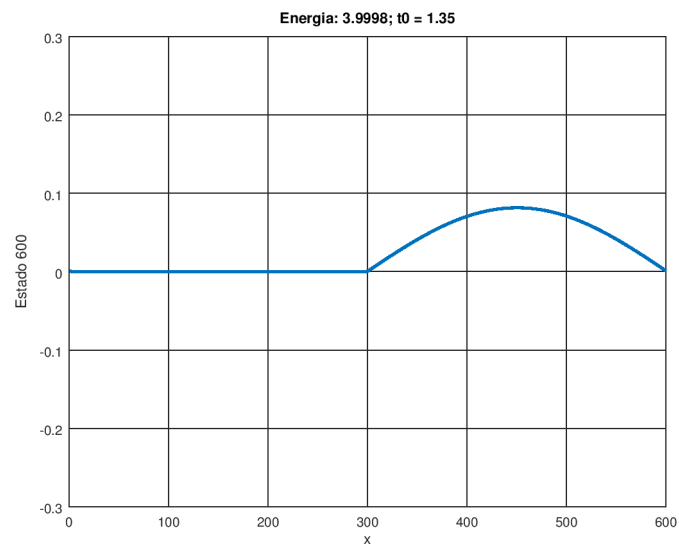
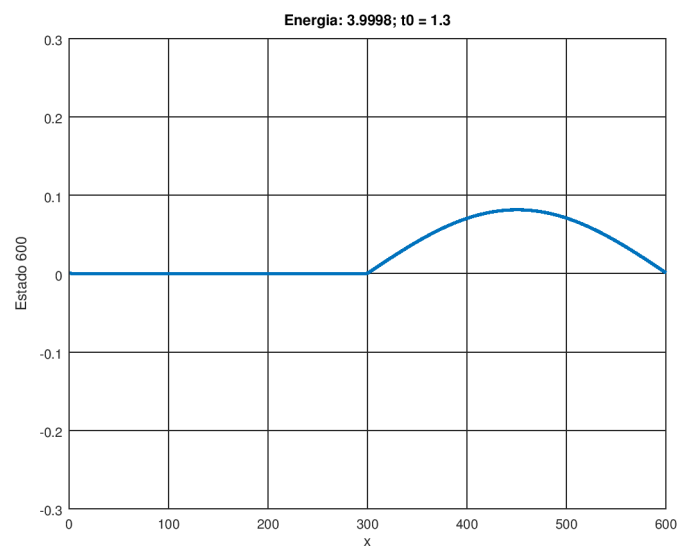
```

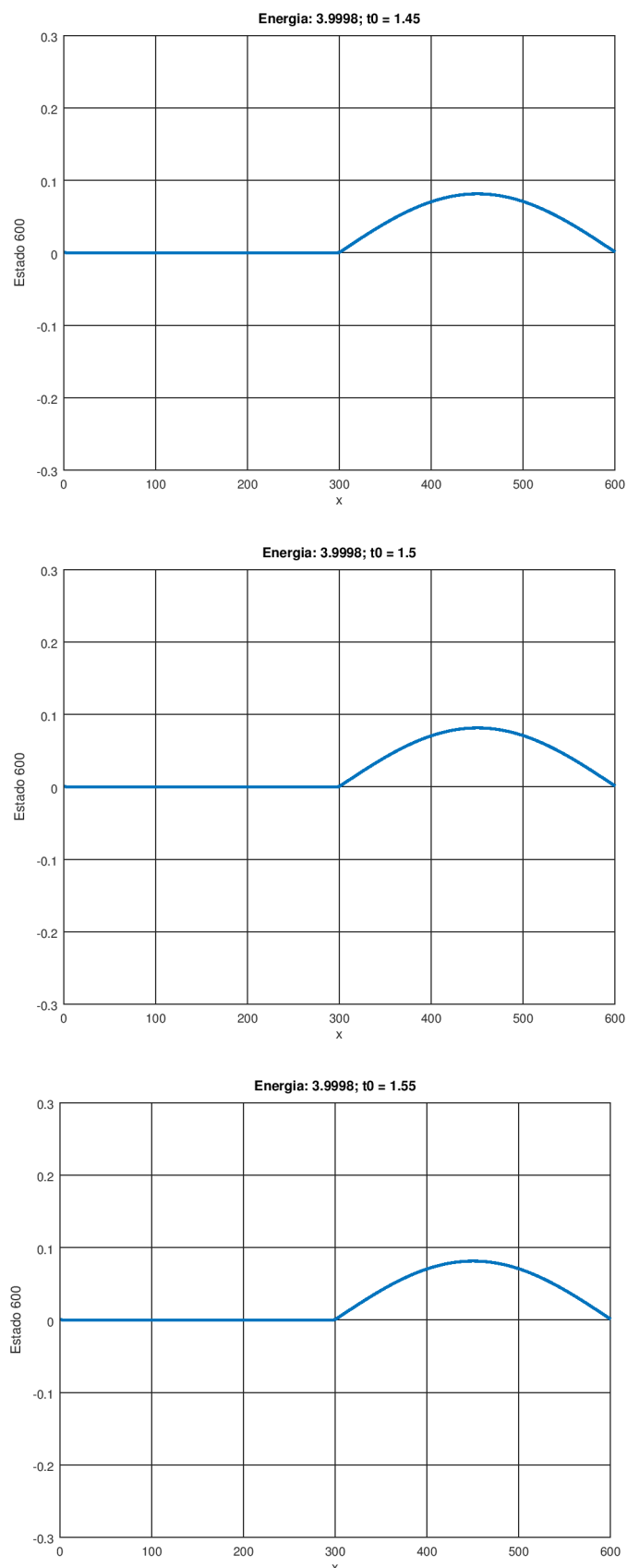
```
for indice=1:num
numerador(indice) = 0;
end
for columna = 1:num
for indiced=num/2+1:(num)
numerador(columna) = numerador(columna) + vect(indiced, columna)*vect(indiced,columna);
end
end
for ii = 1:num
entropia(ii) = numerador(ii)/denominador(ii);
end
```

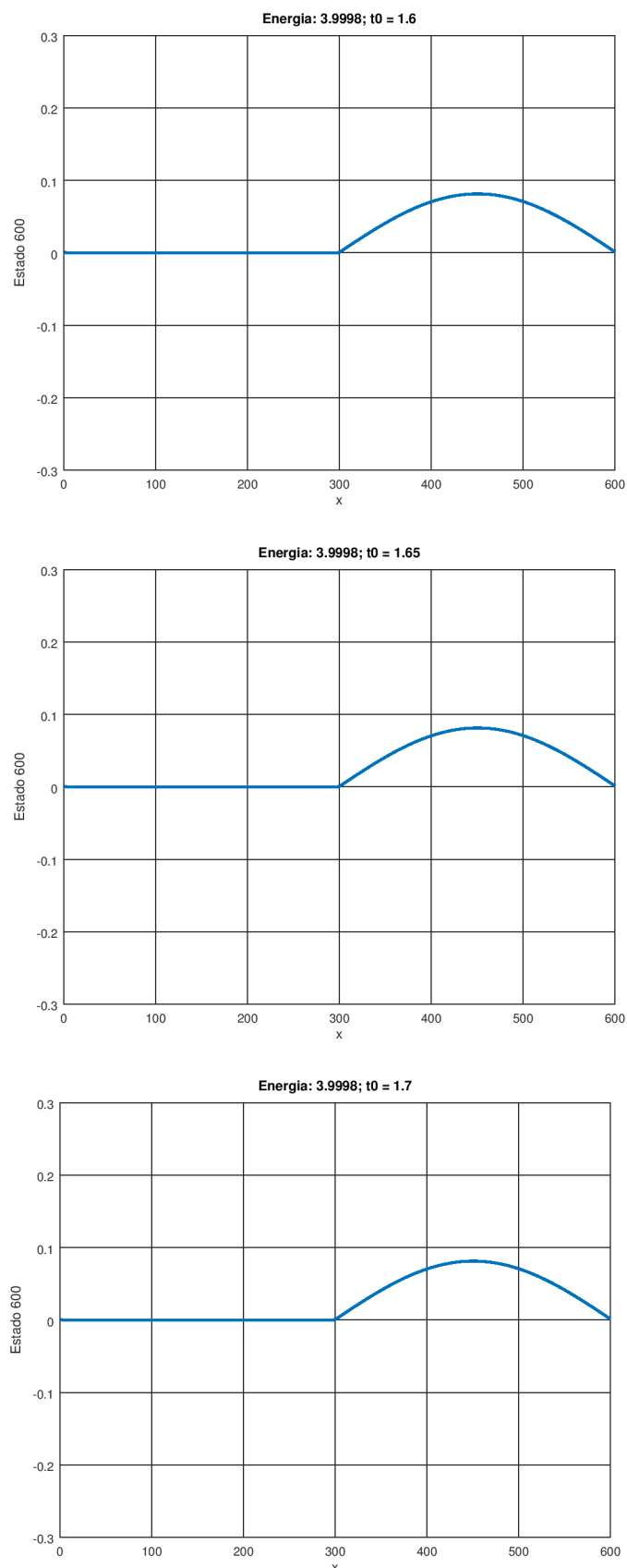

2. ANEXO II: Evolución estado de máxima energía, sistema metal-metal

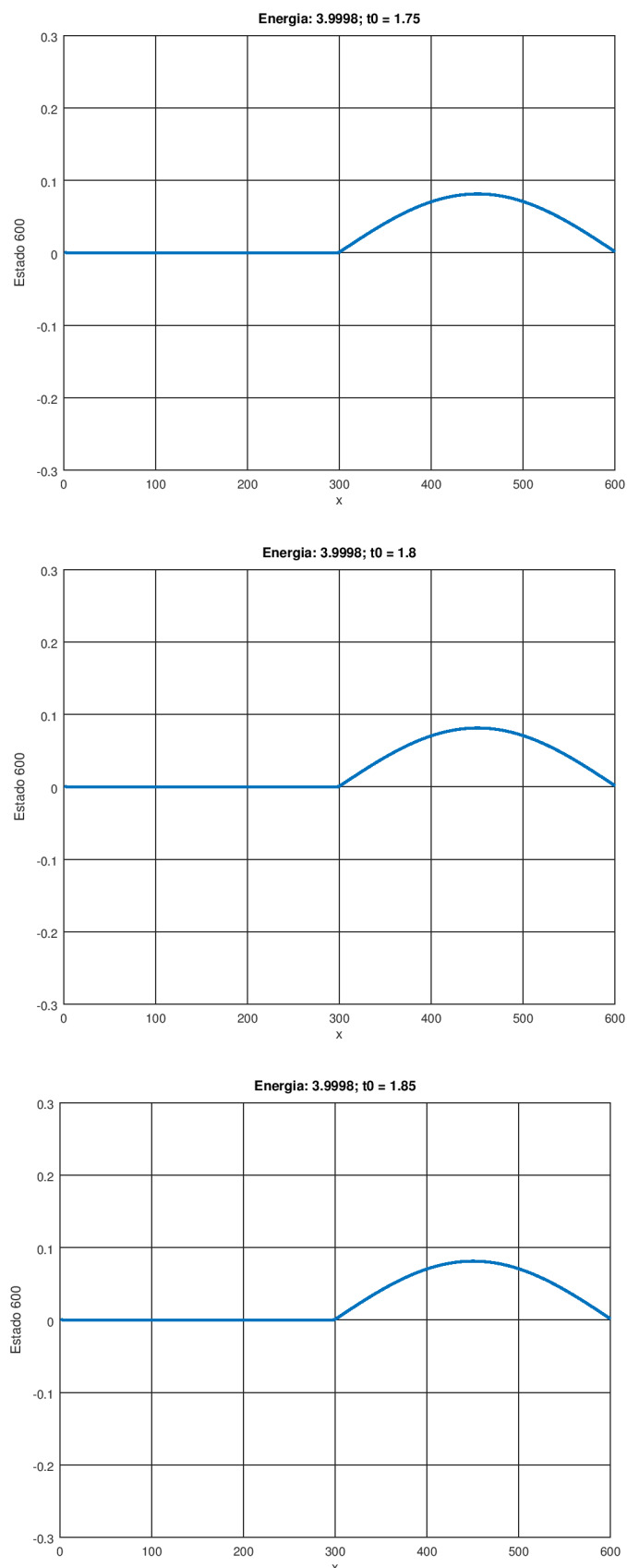


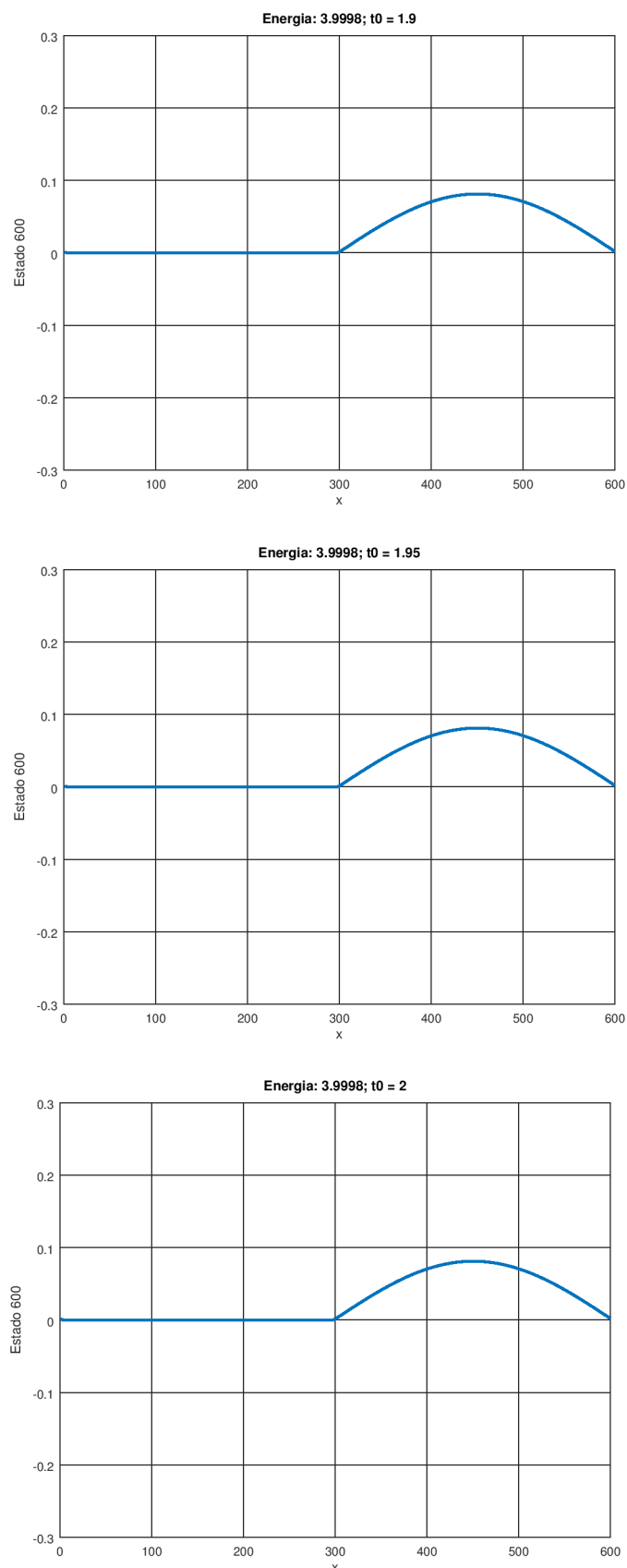


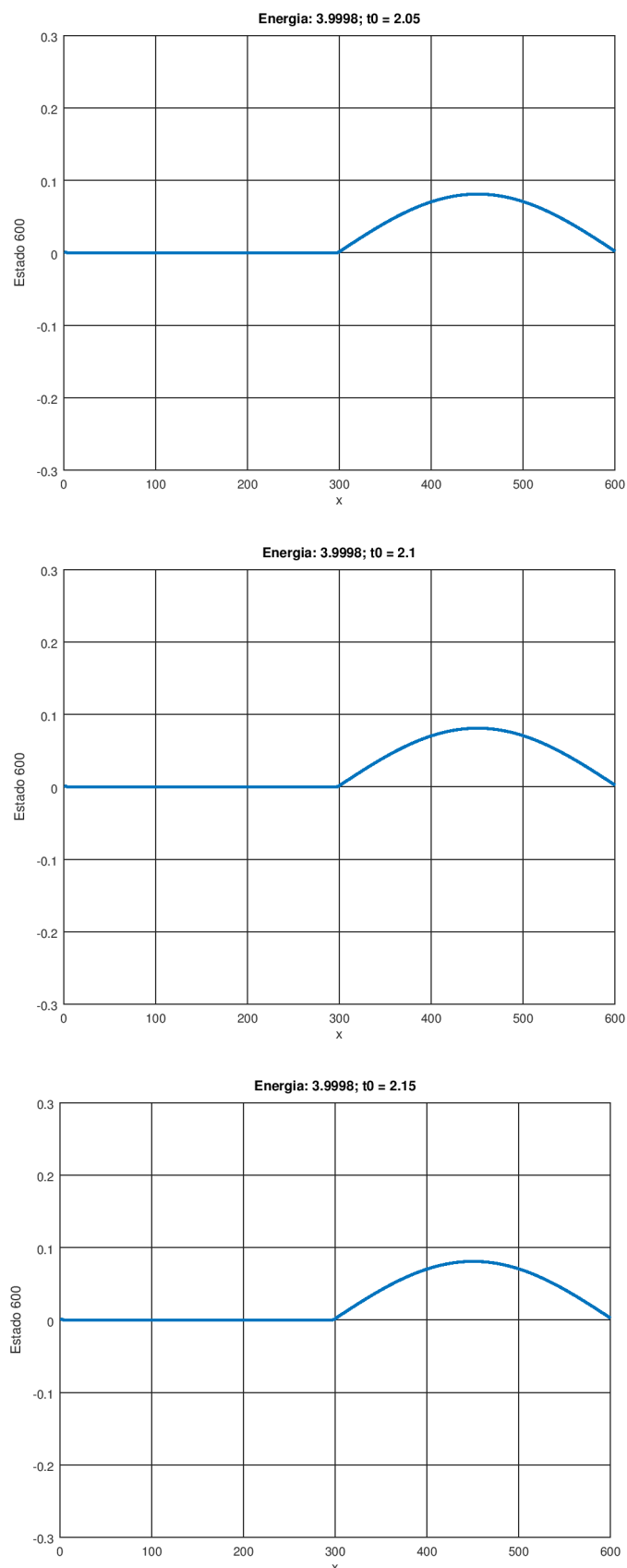


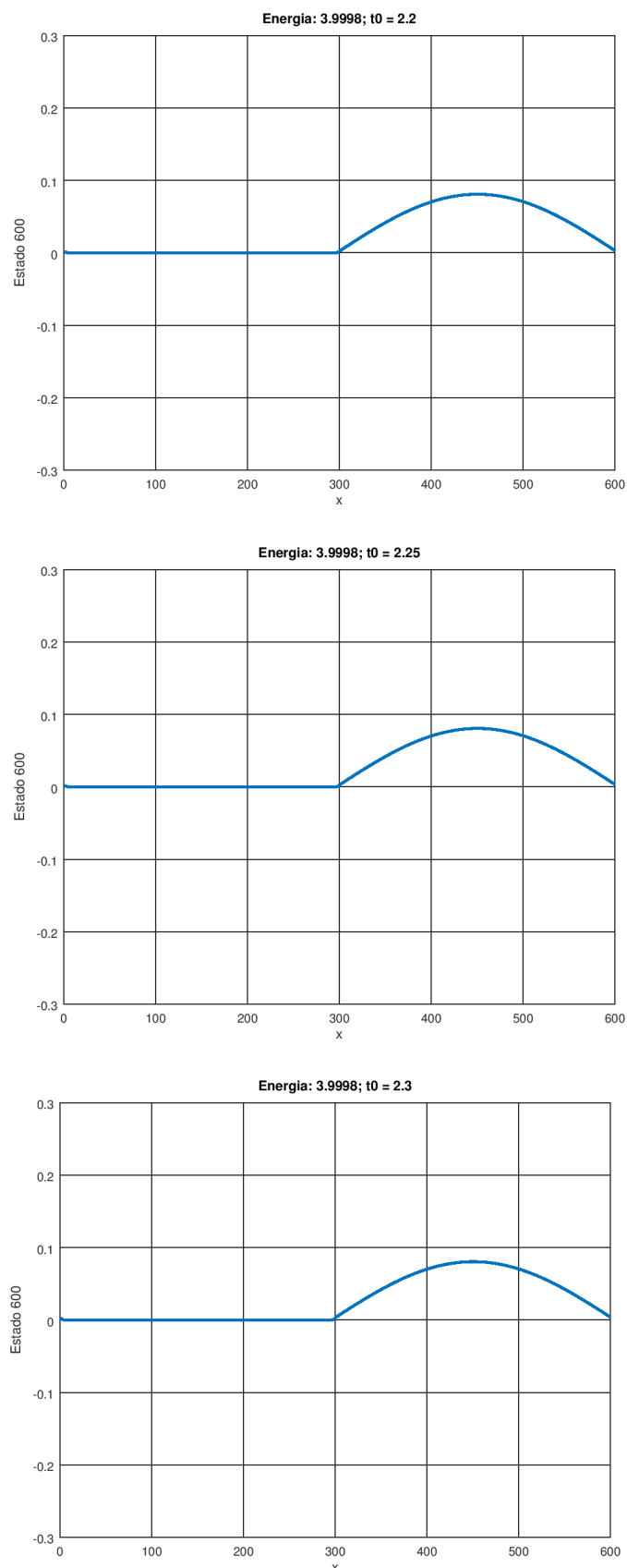


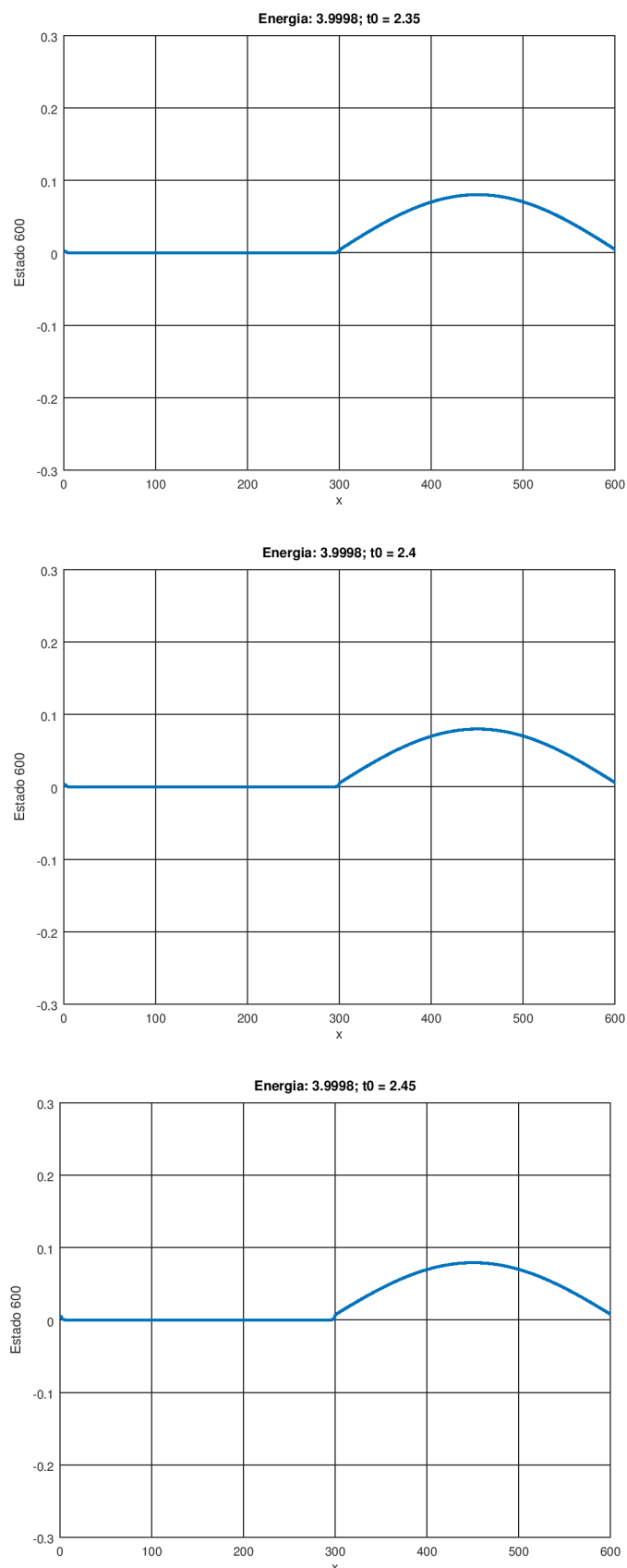


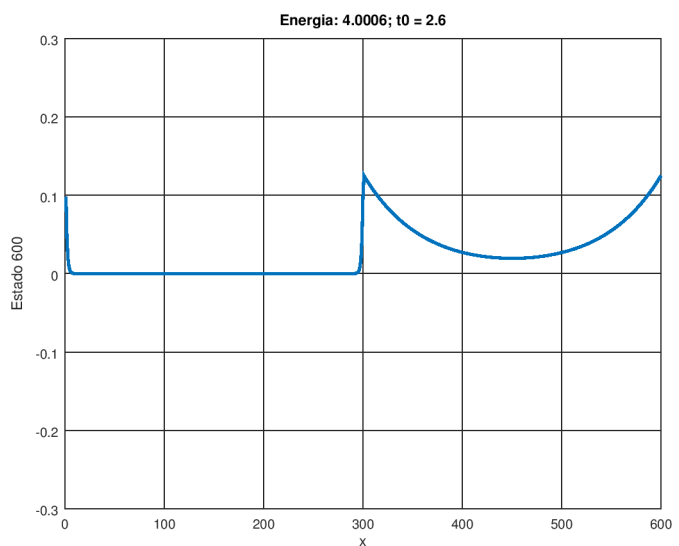
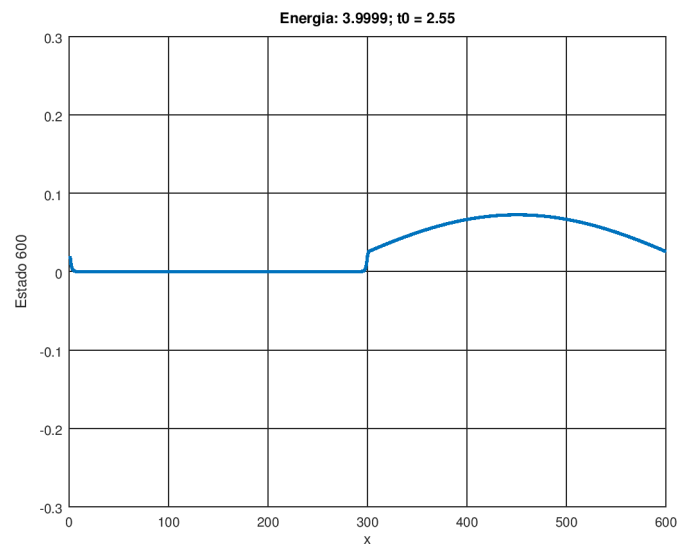
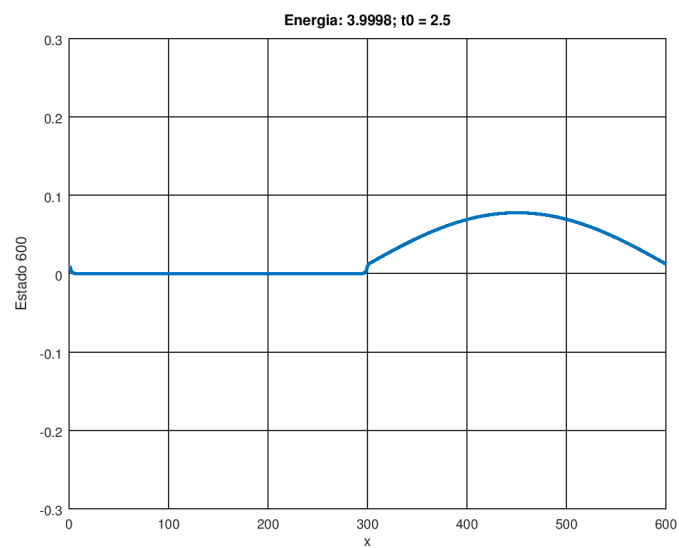


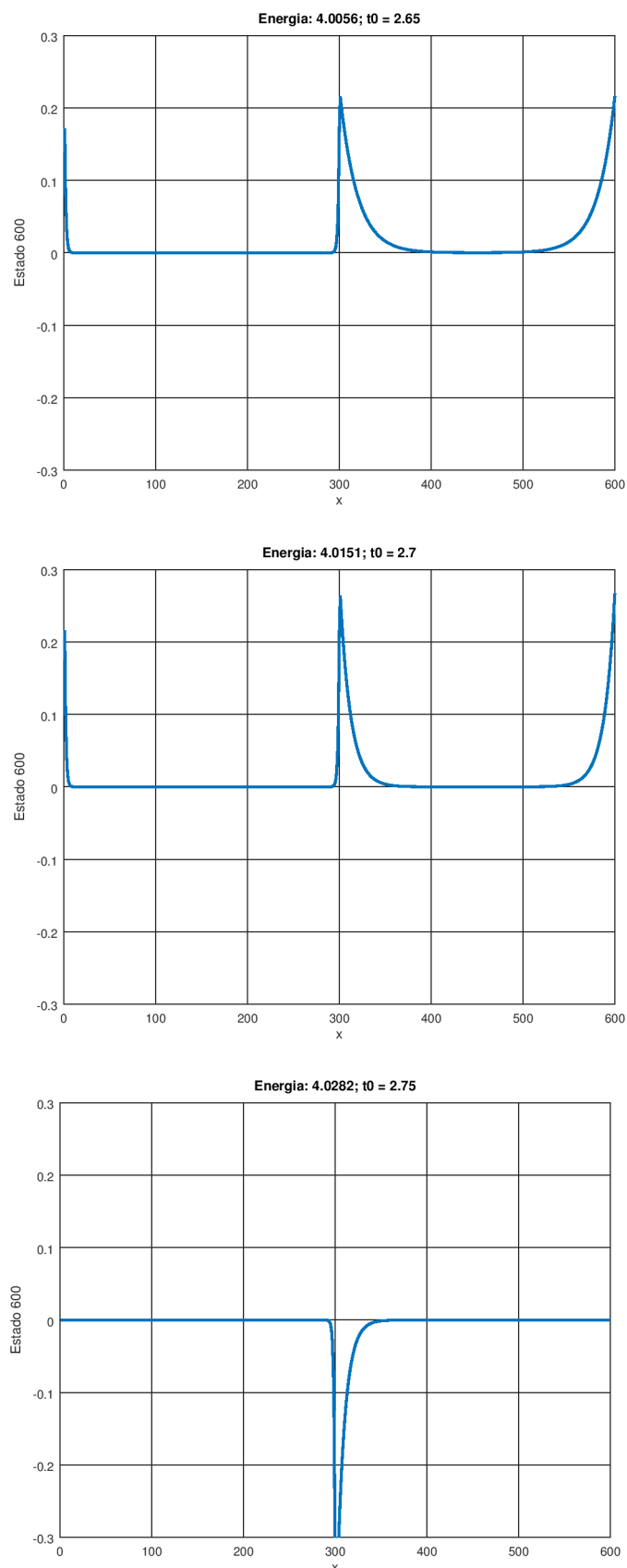


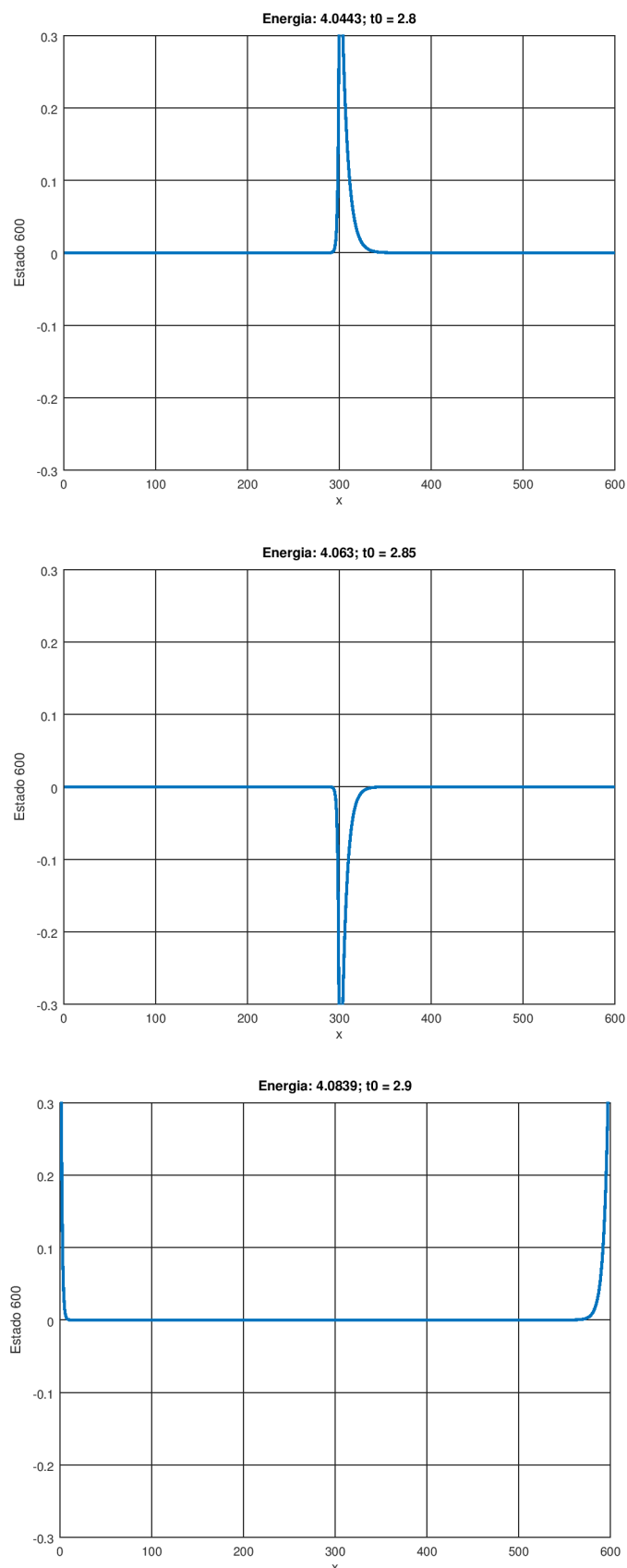












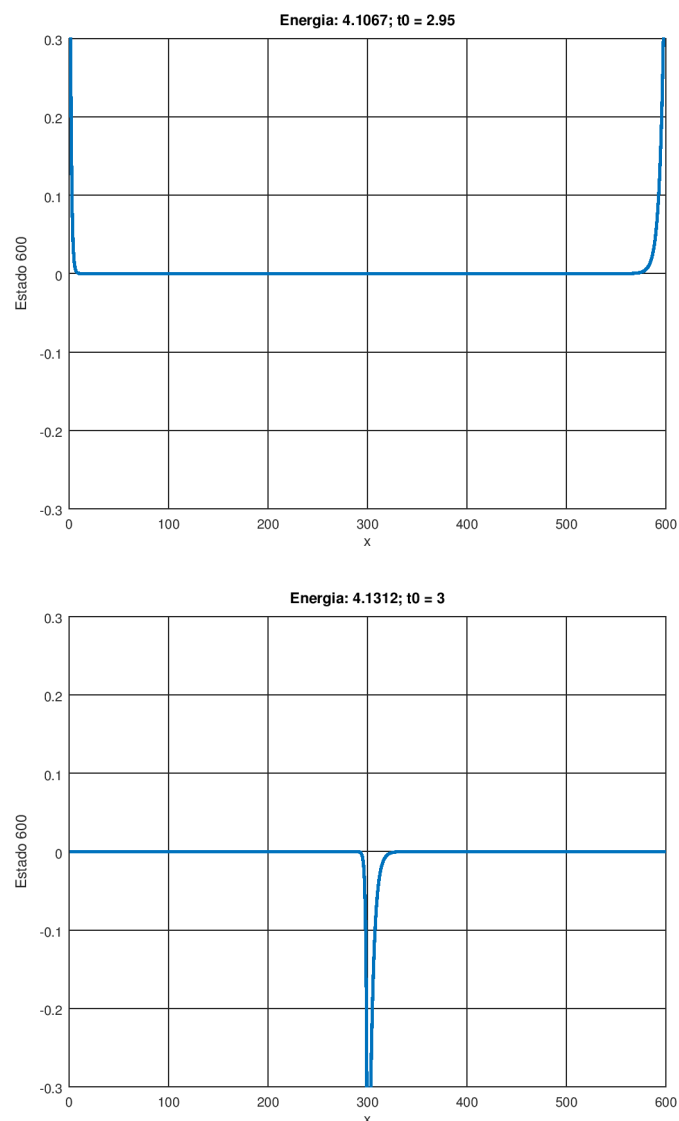
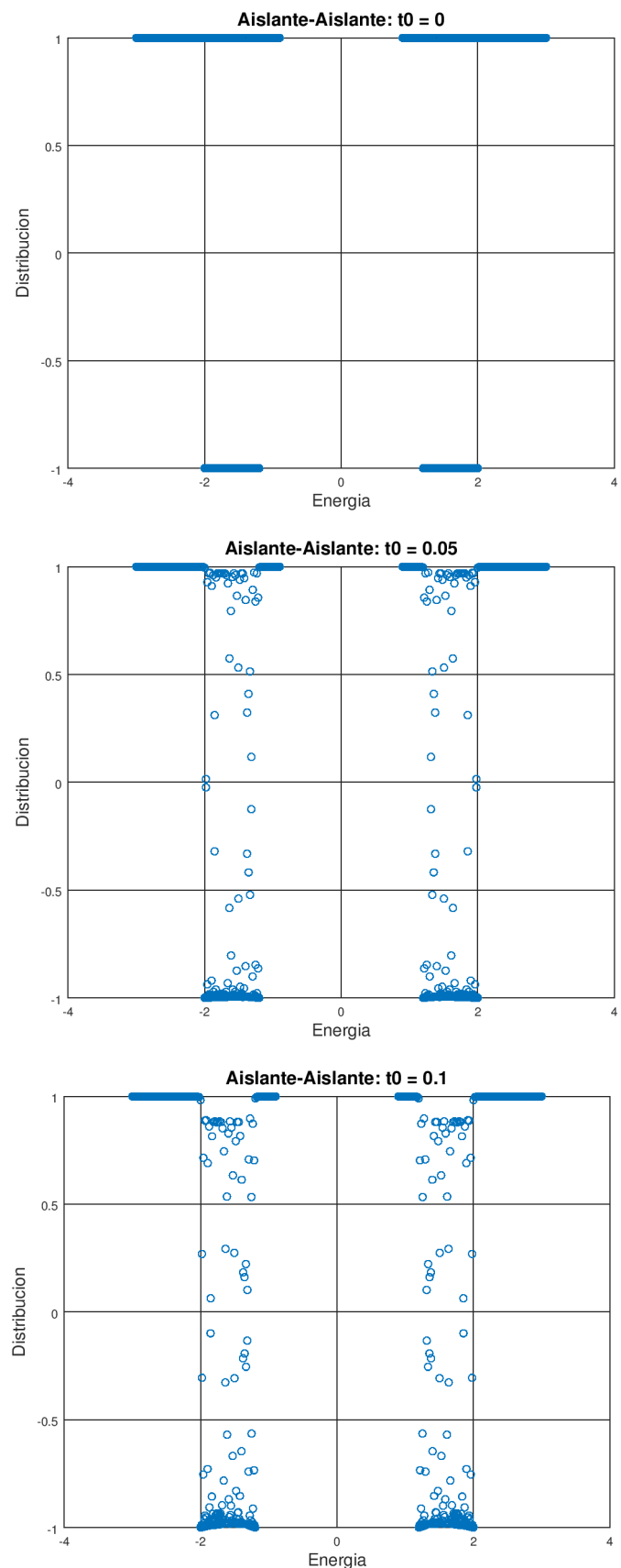
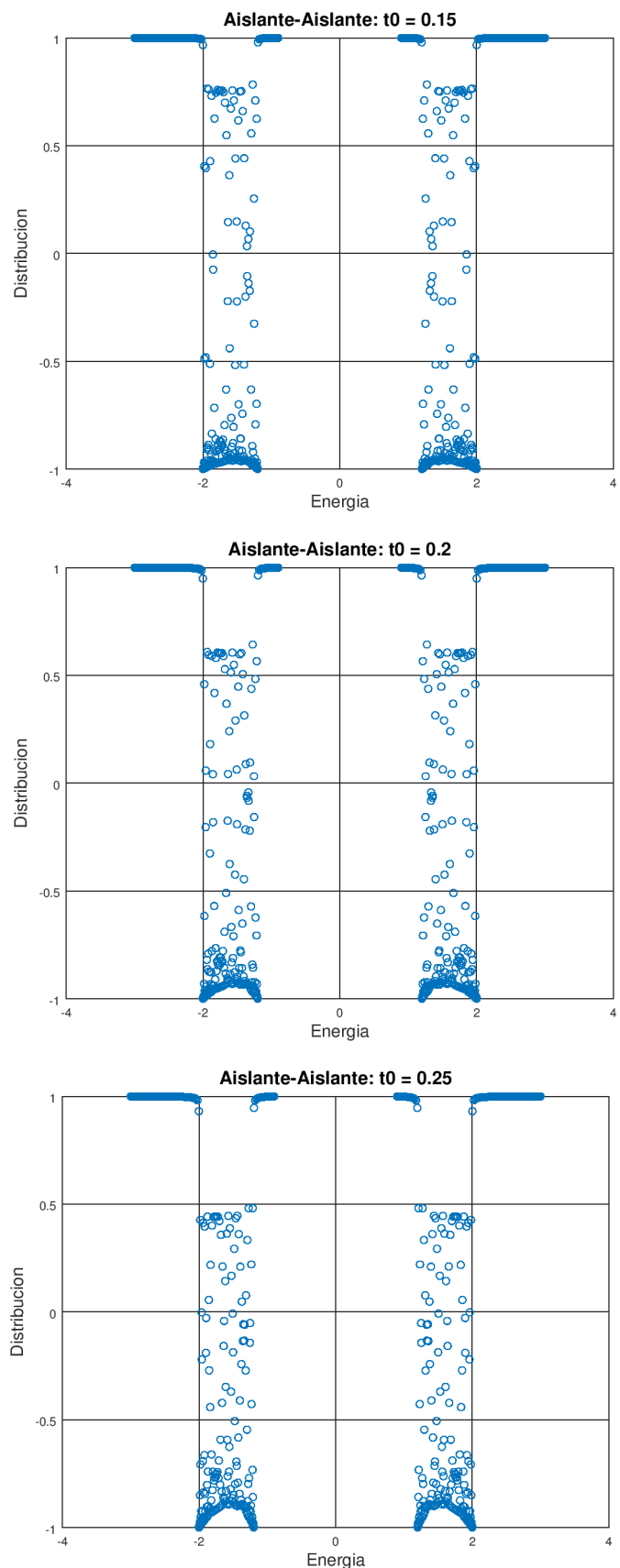
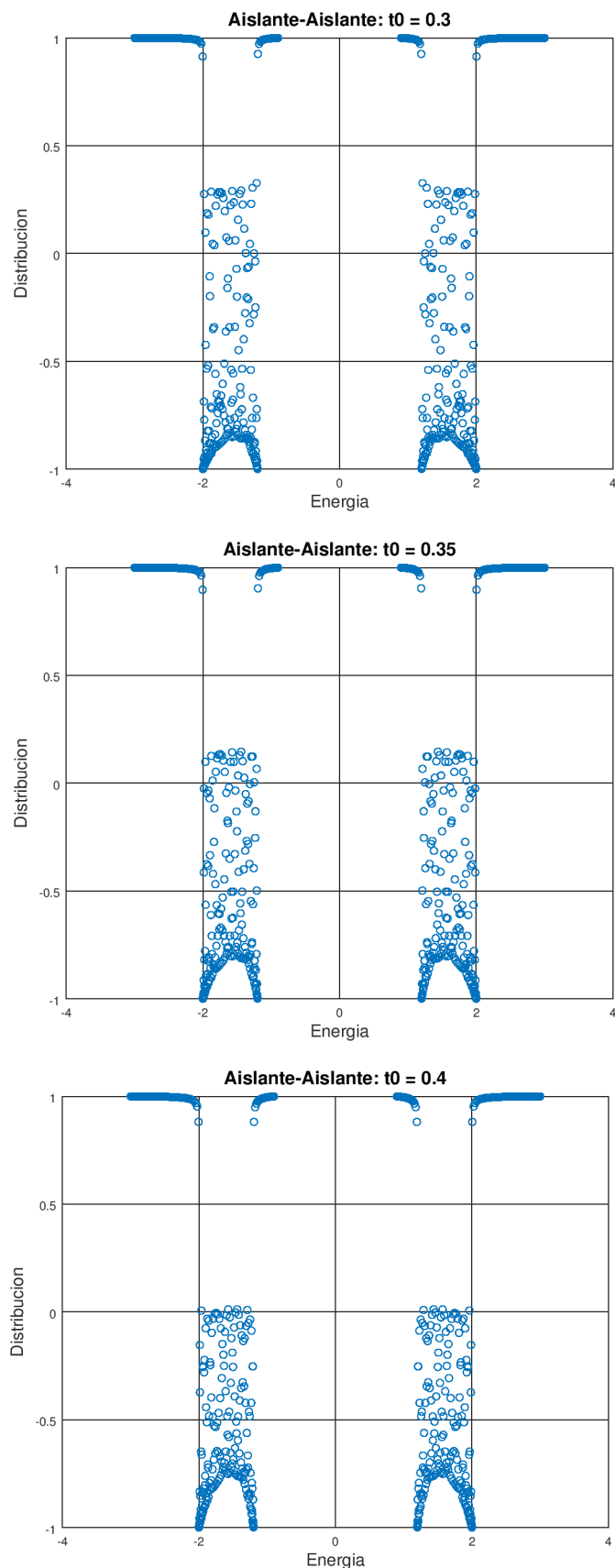


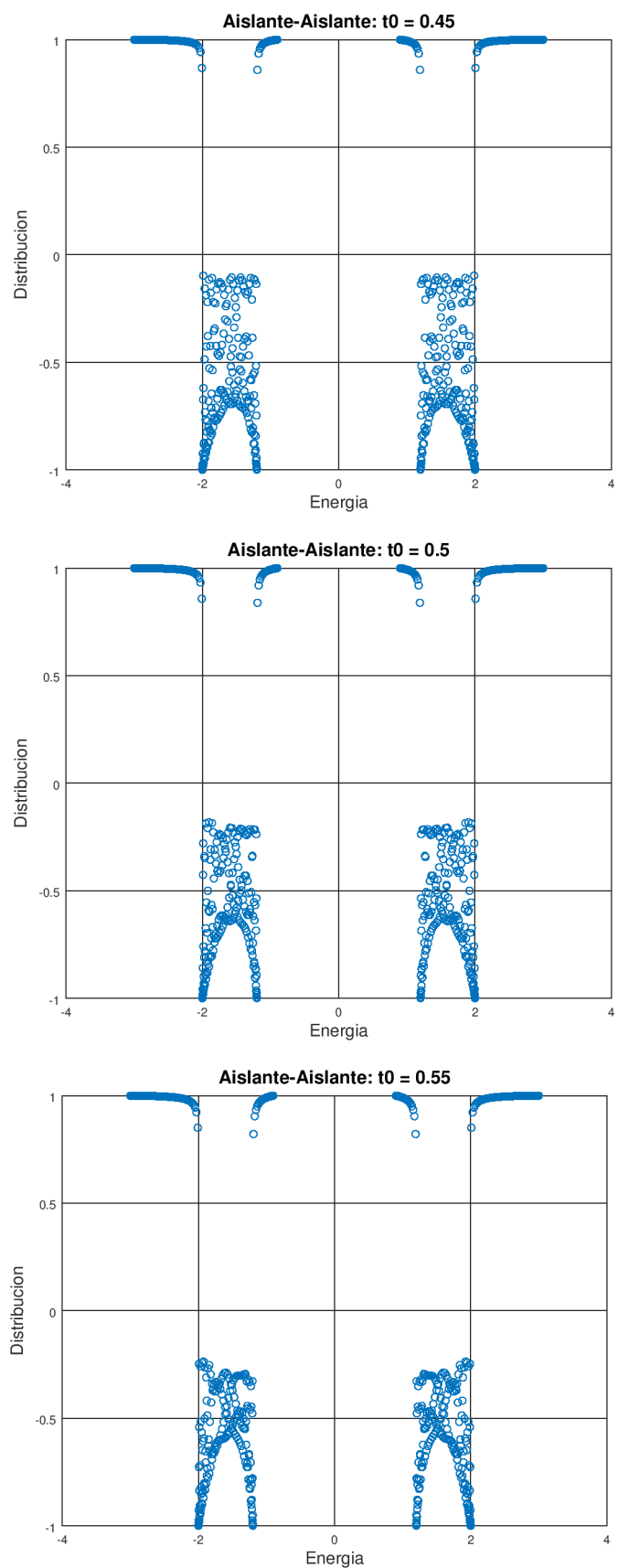
Figura 2.1: Evolución del estado de máxima energía en función del valor del contacto.

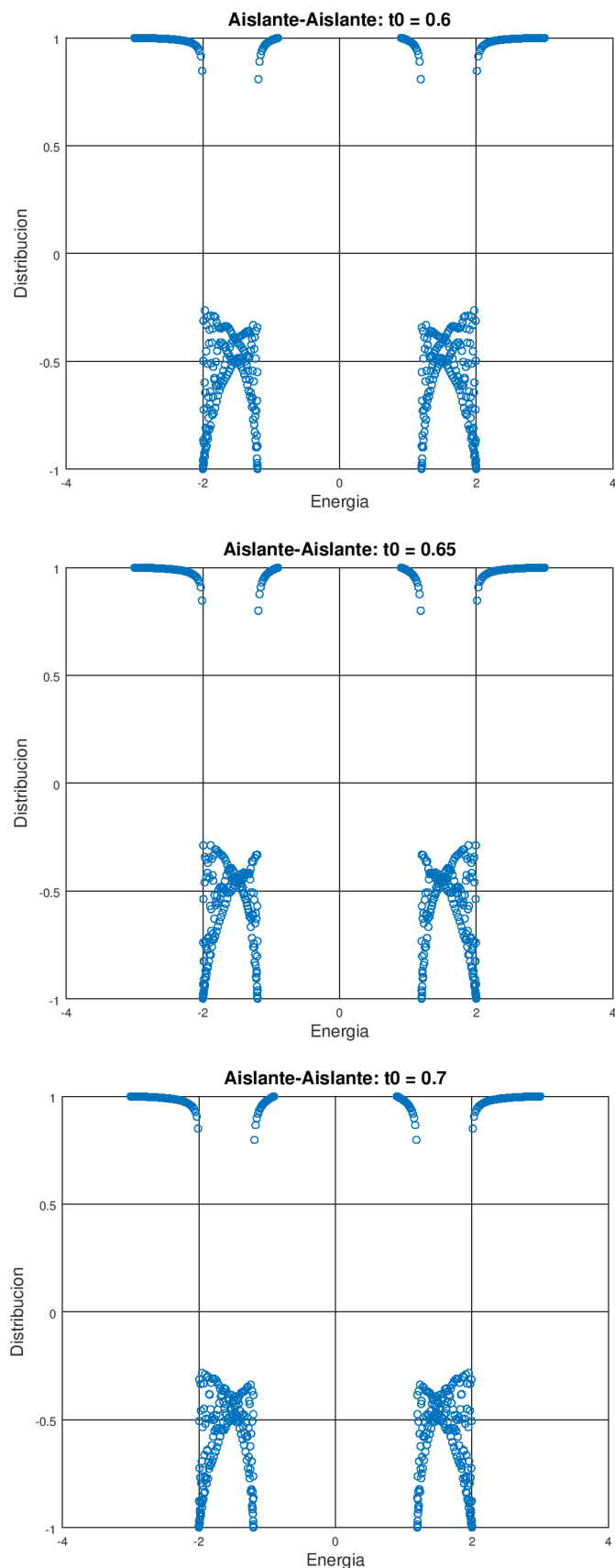
3. ANEXO III: Gráficas distribución

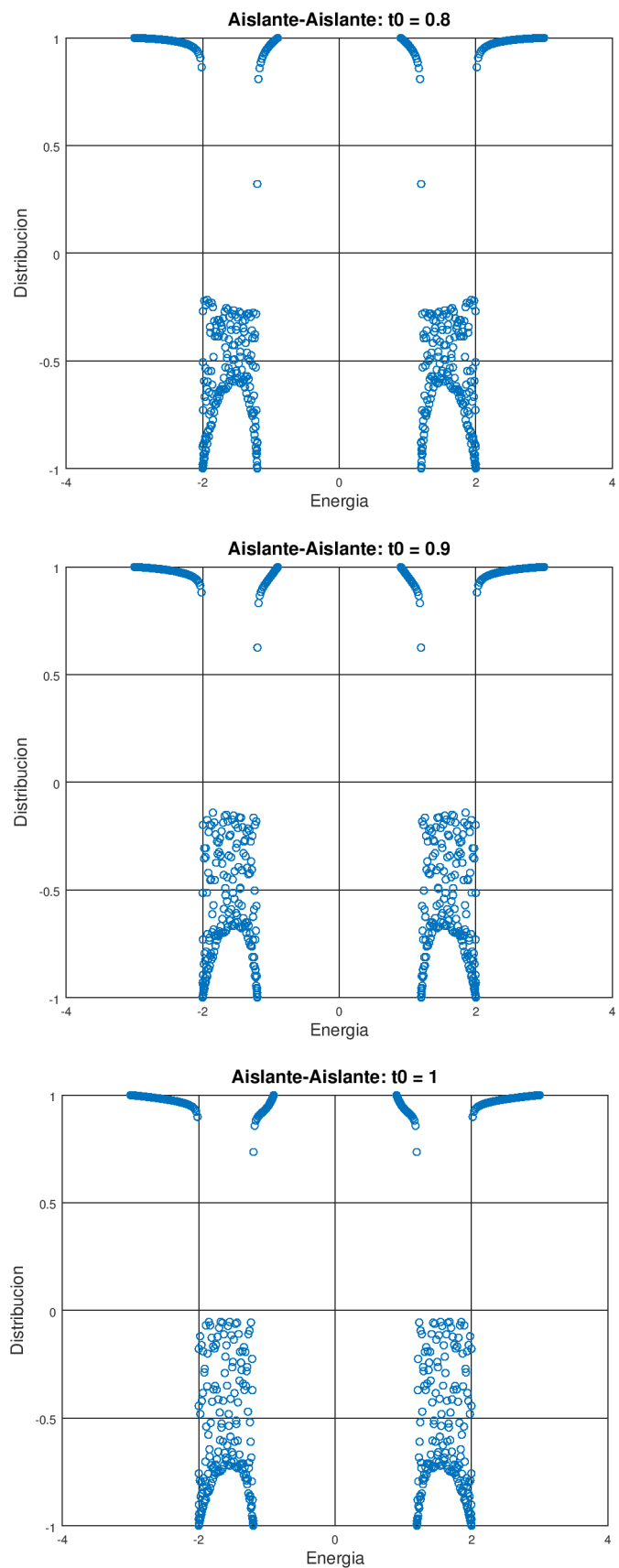


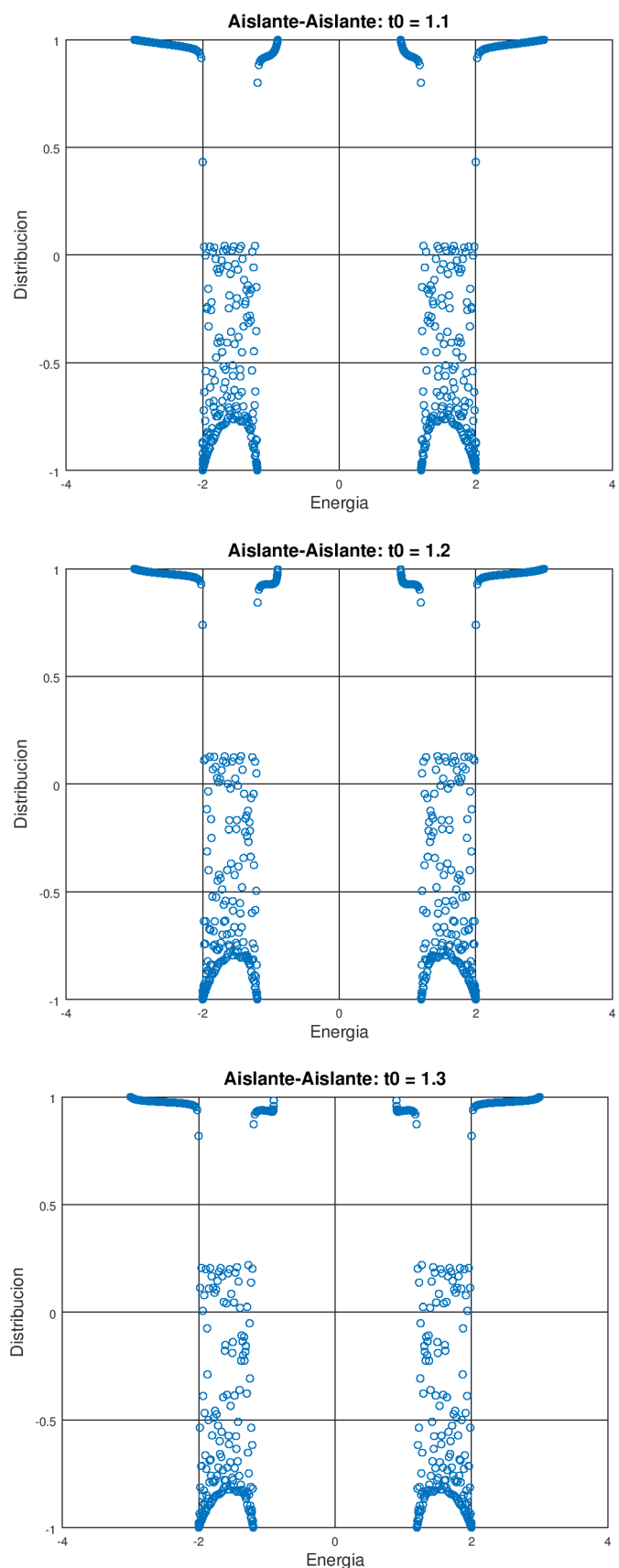


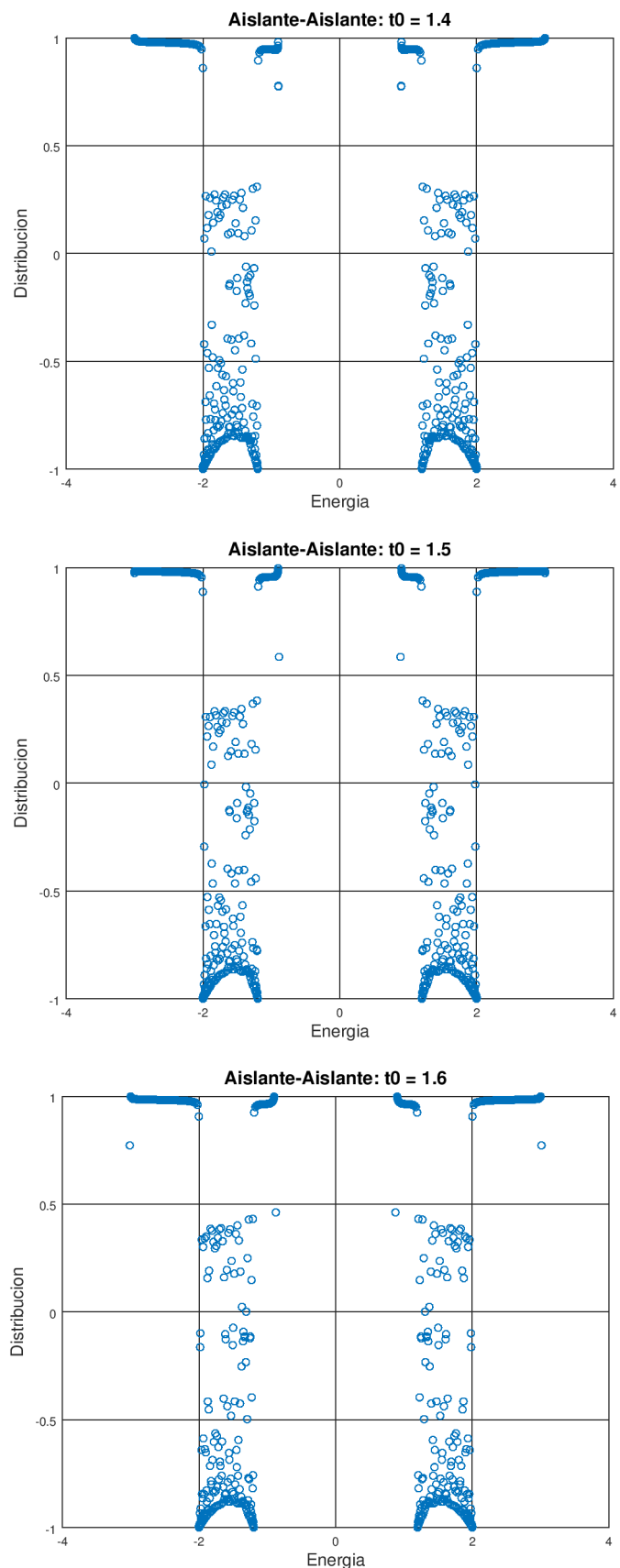


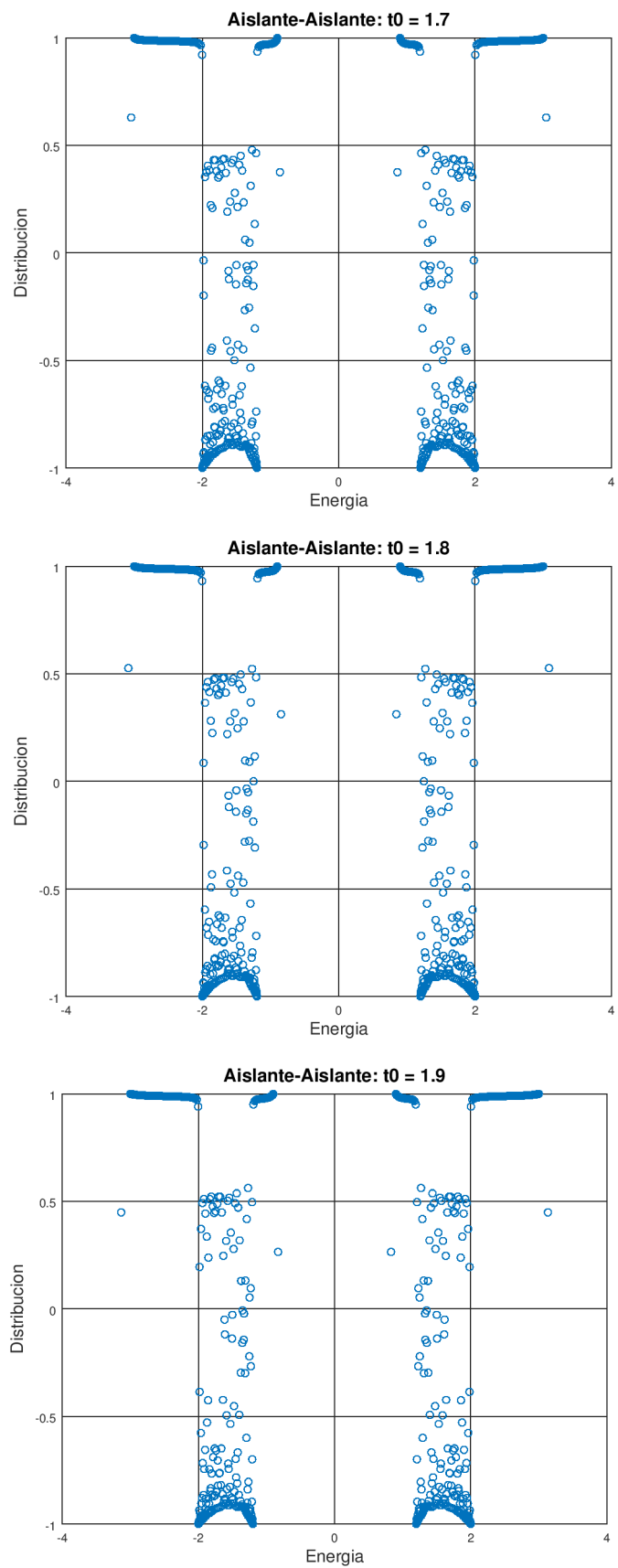


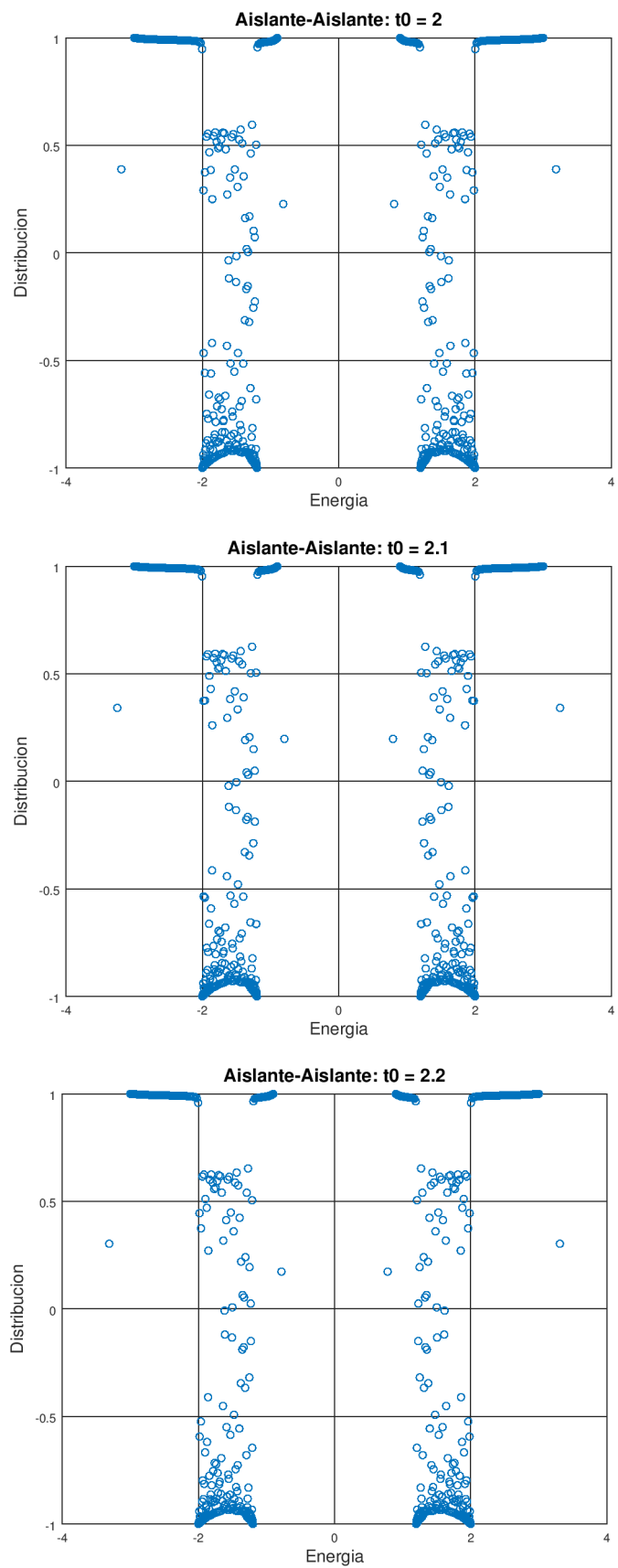


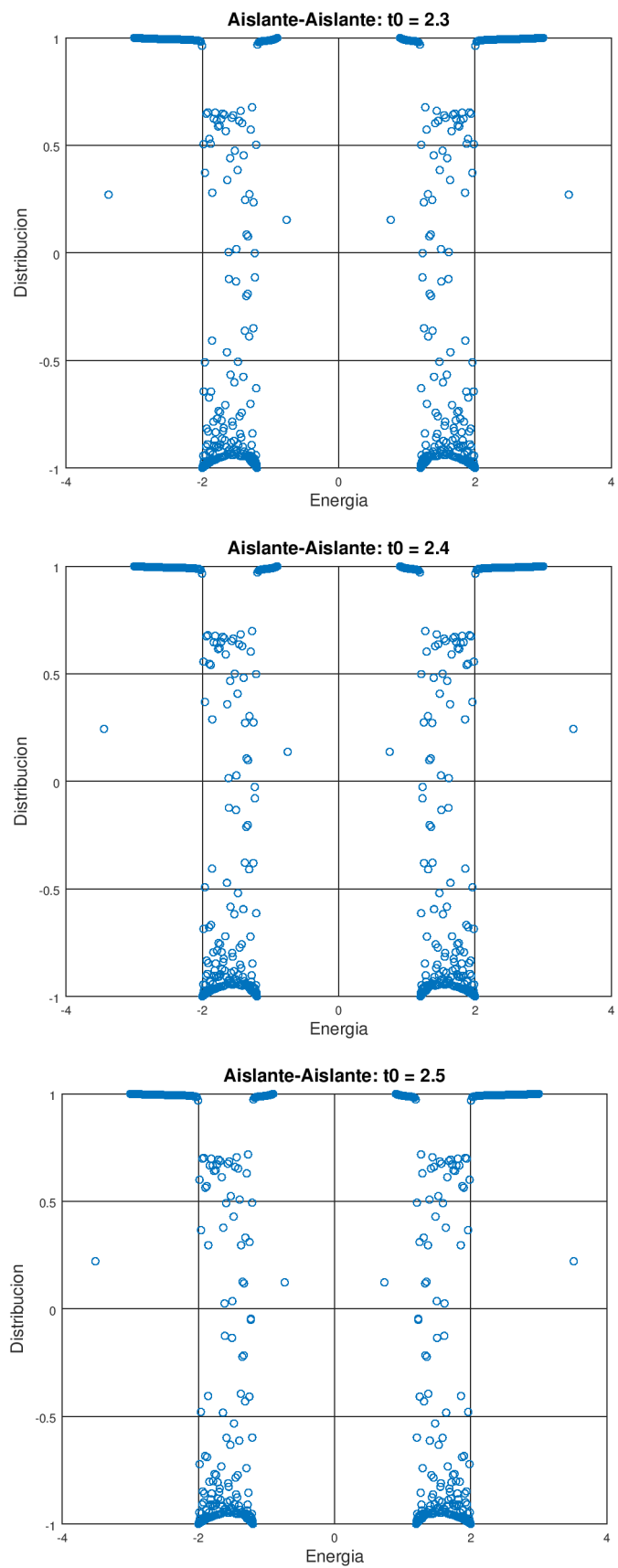


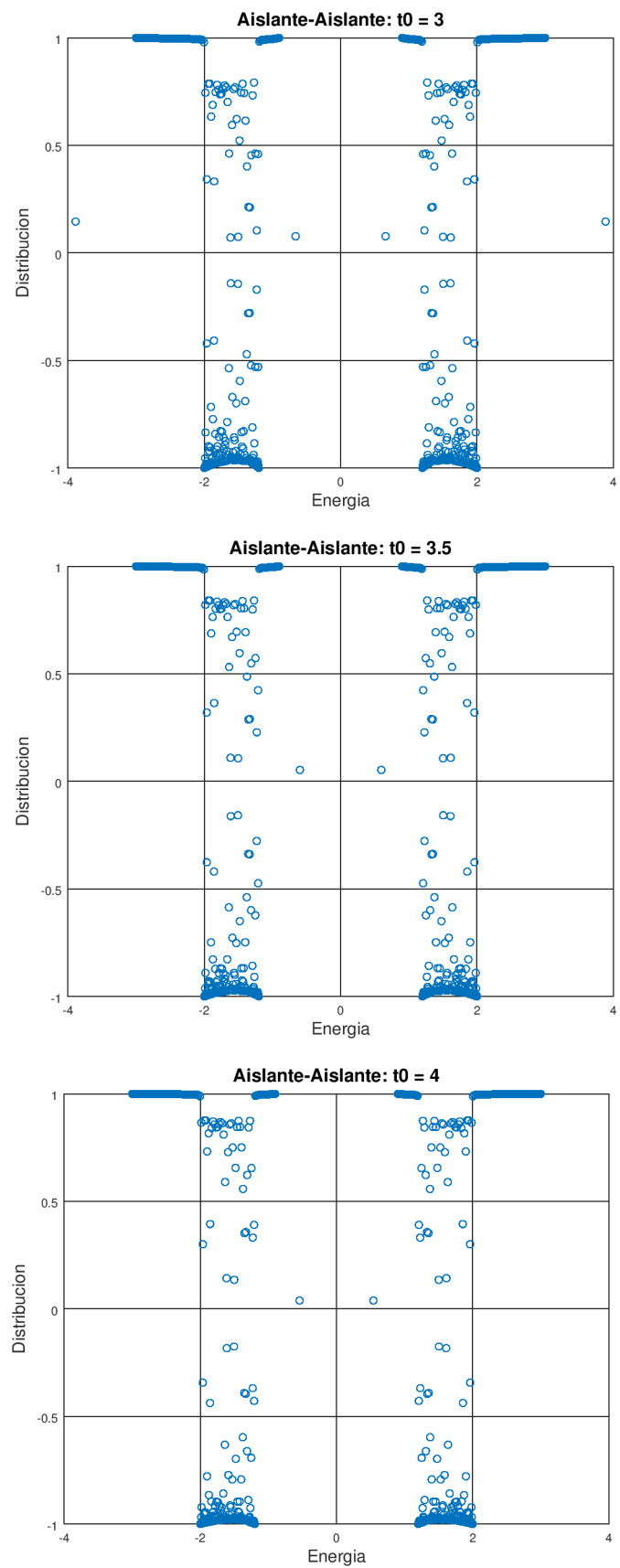


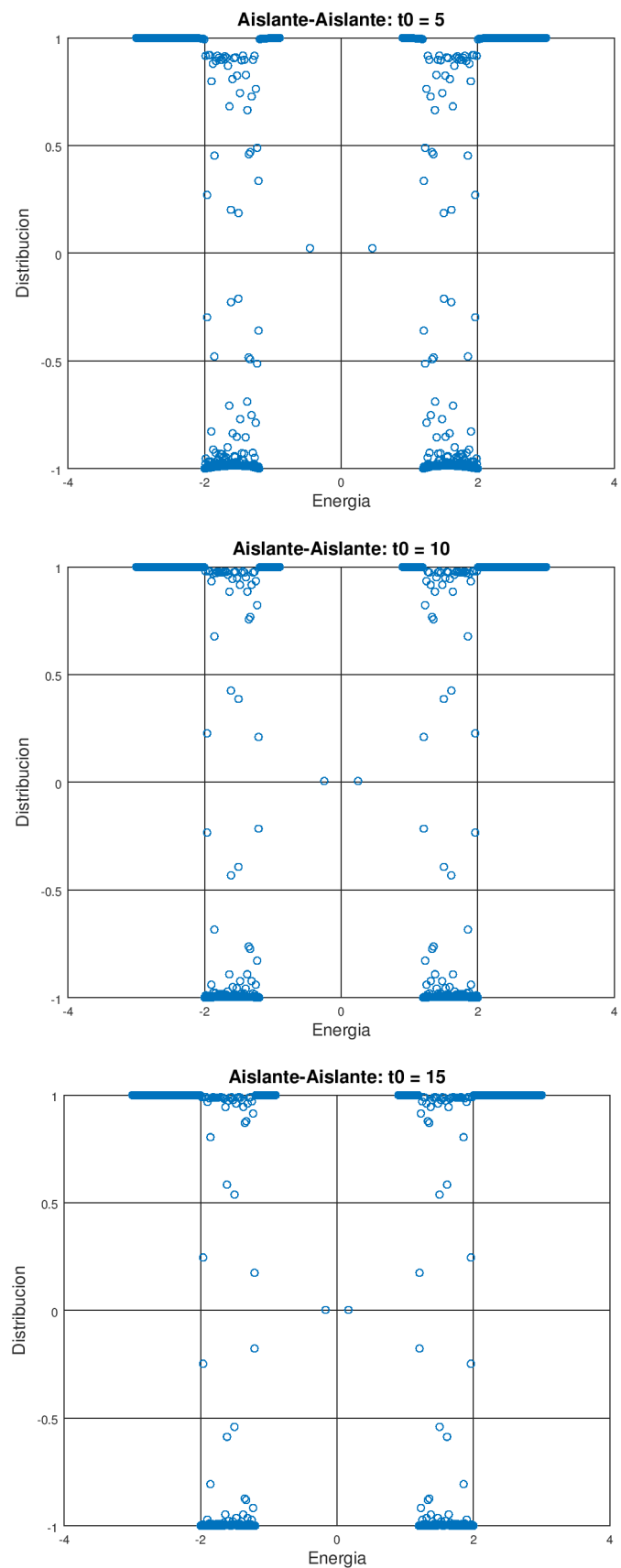












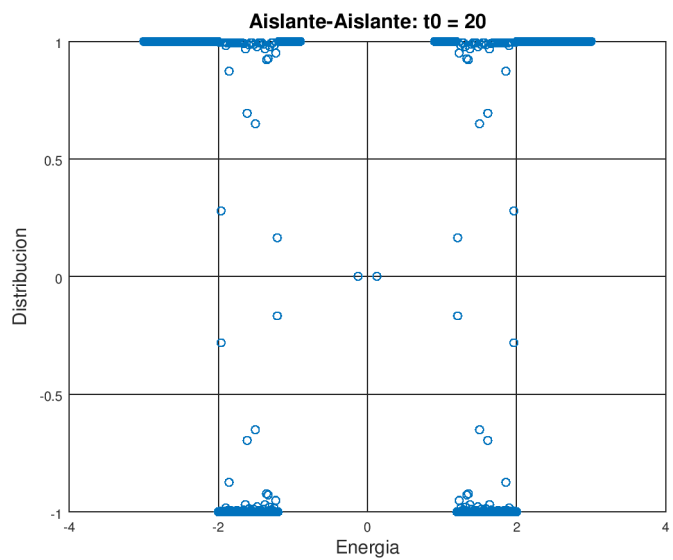
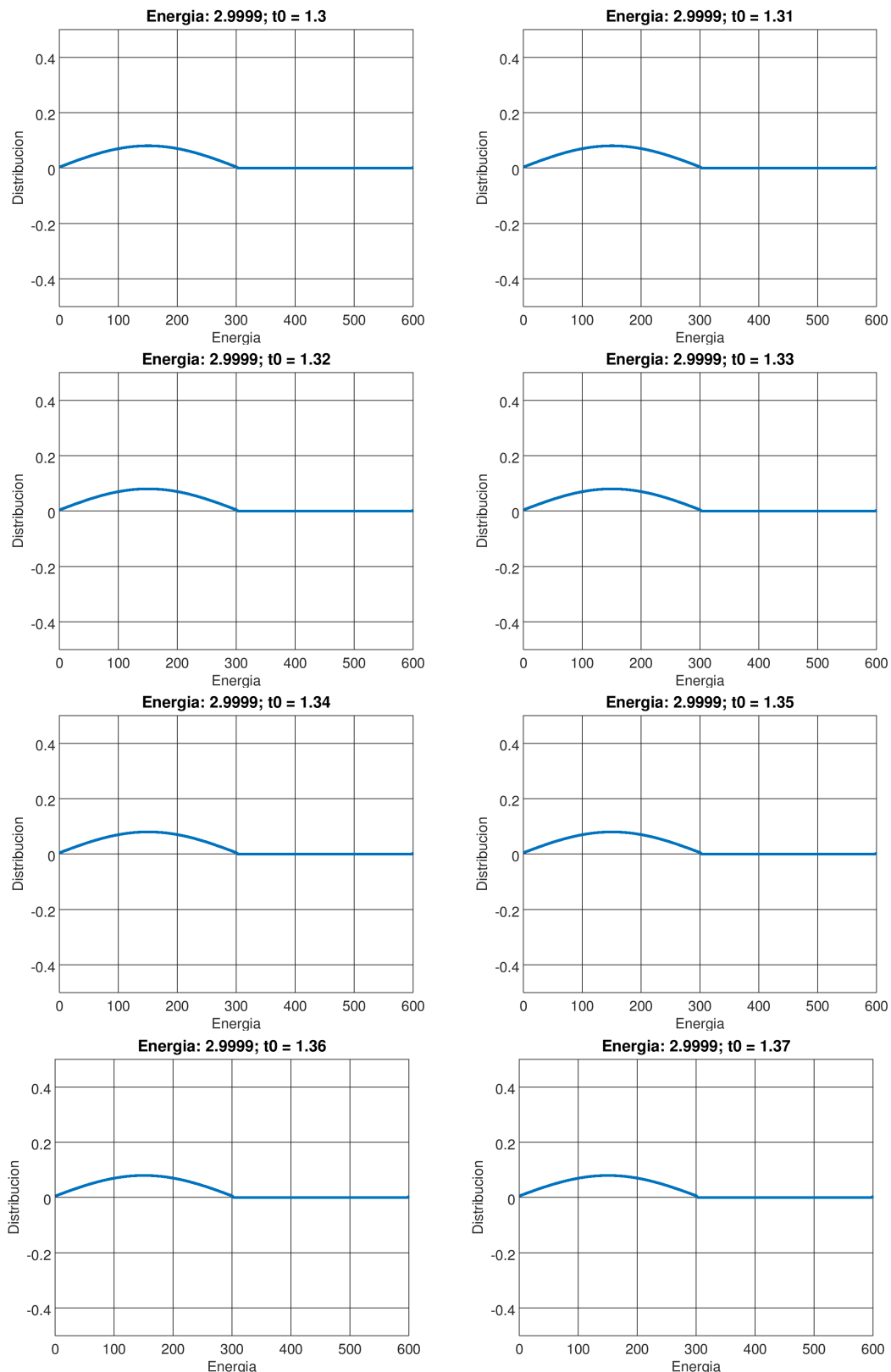
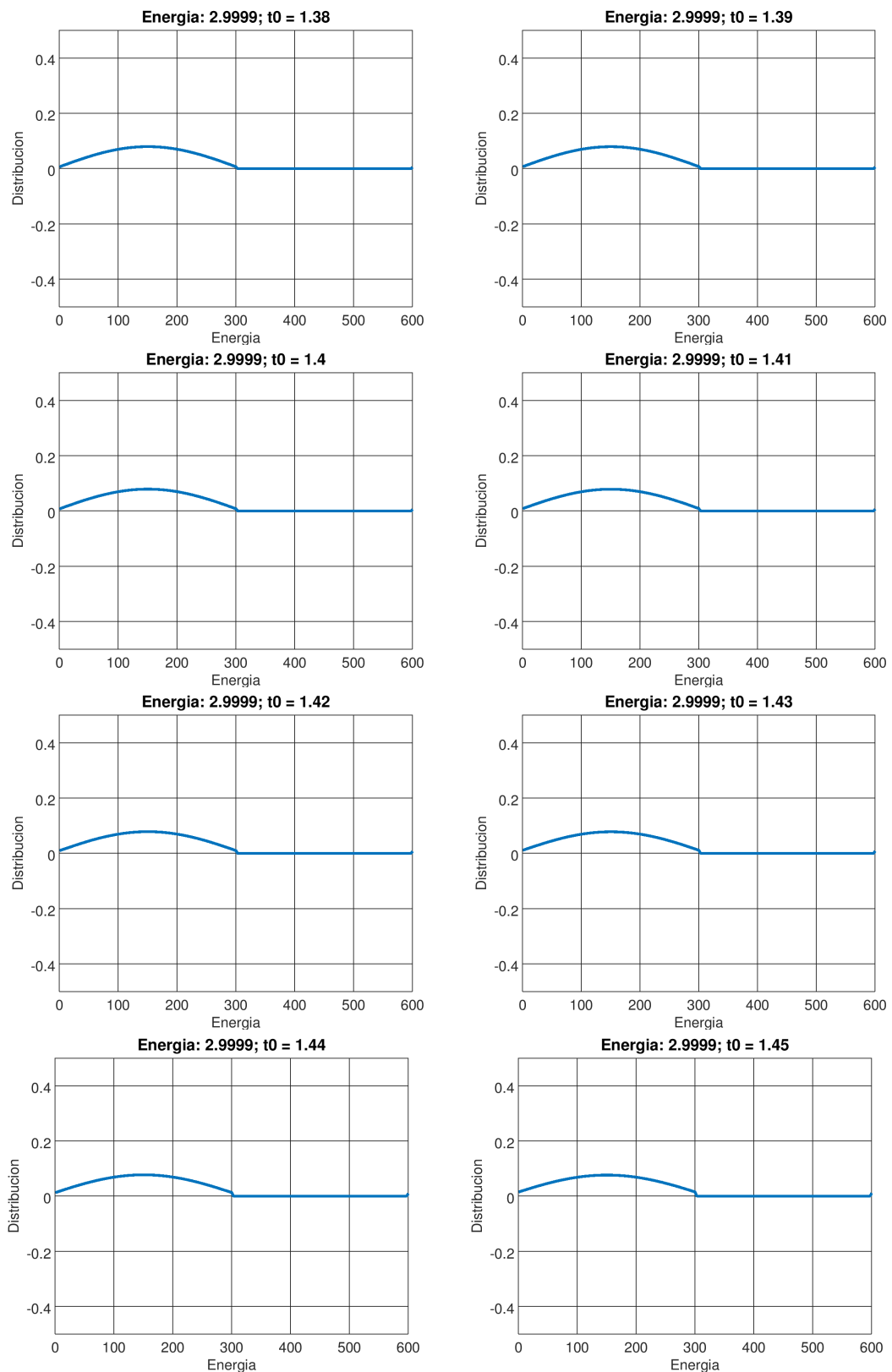
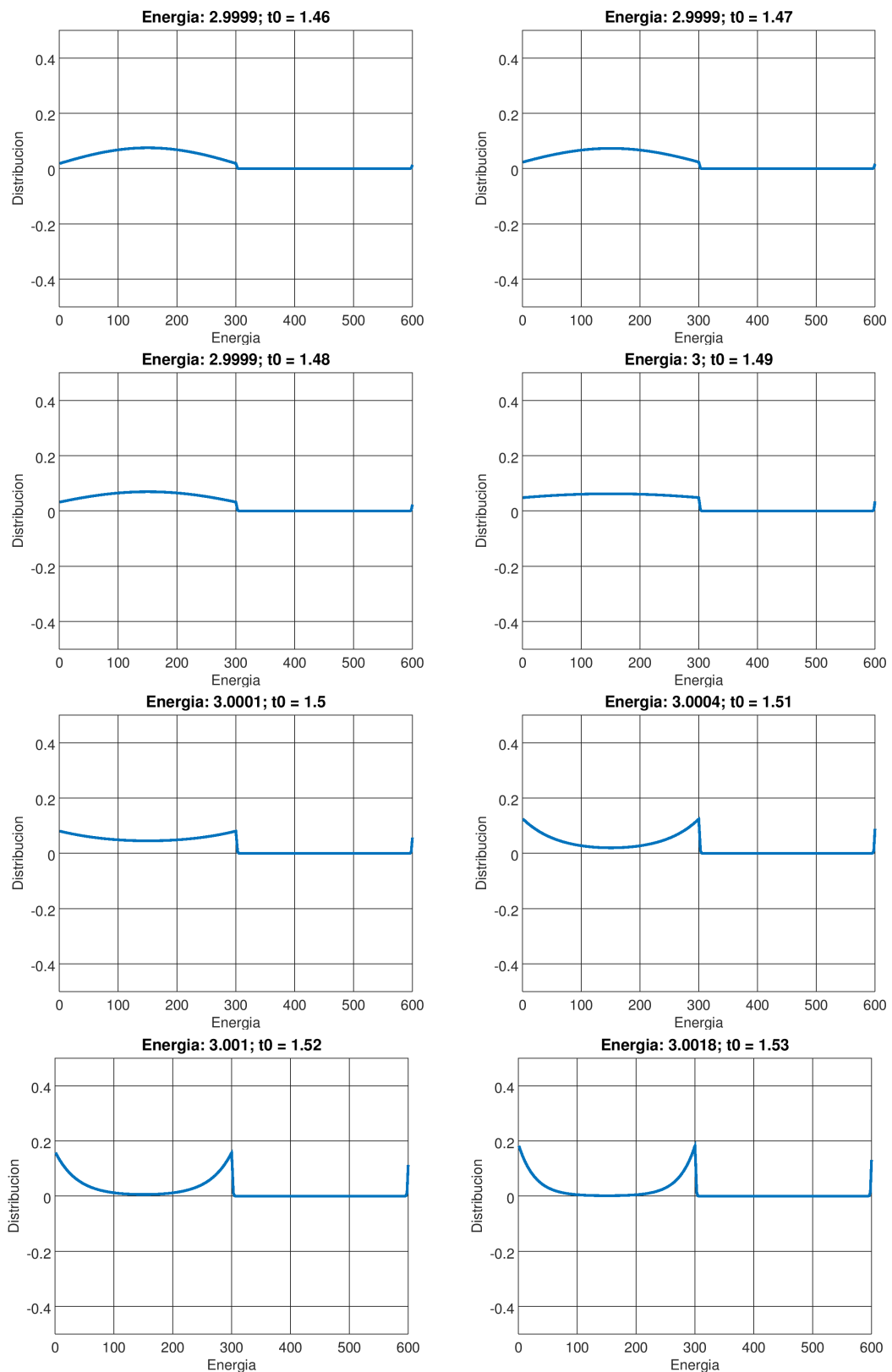


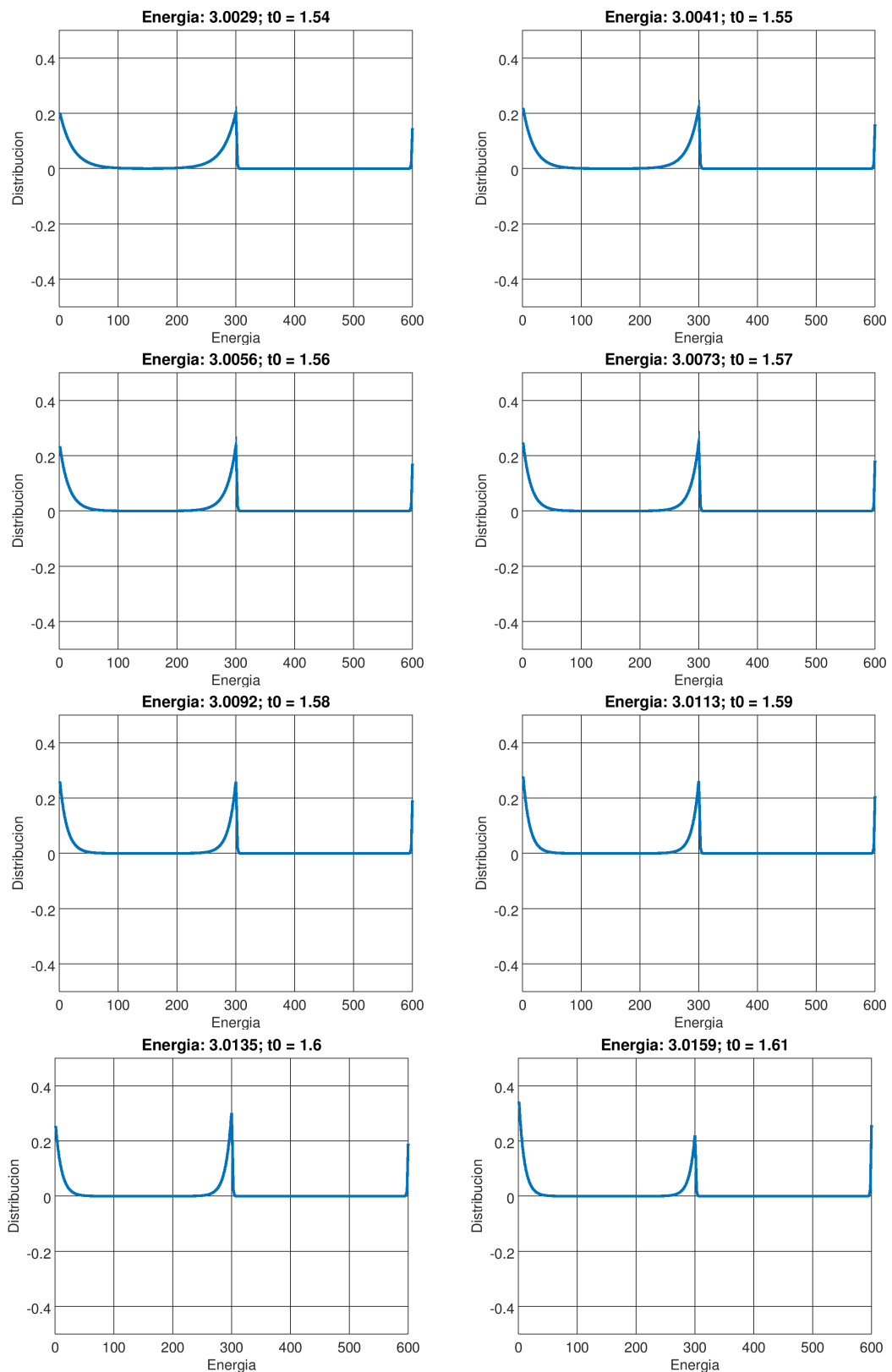
Figura 3.1: Evolución de la distribución en función del valor del contacto.

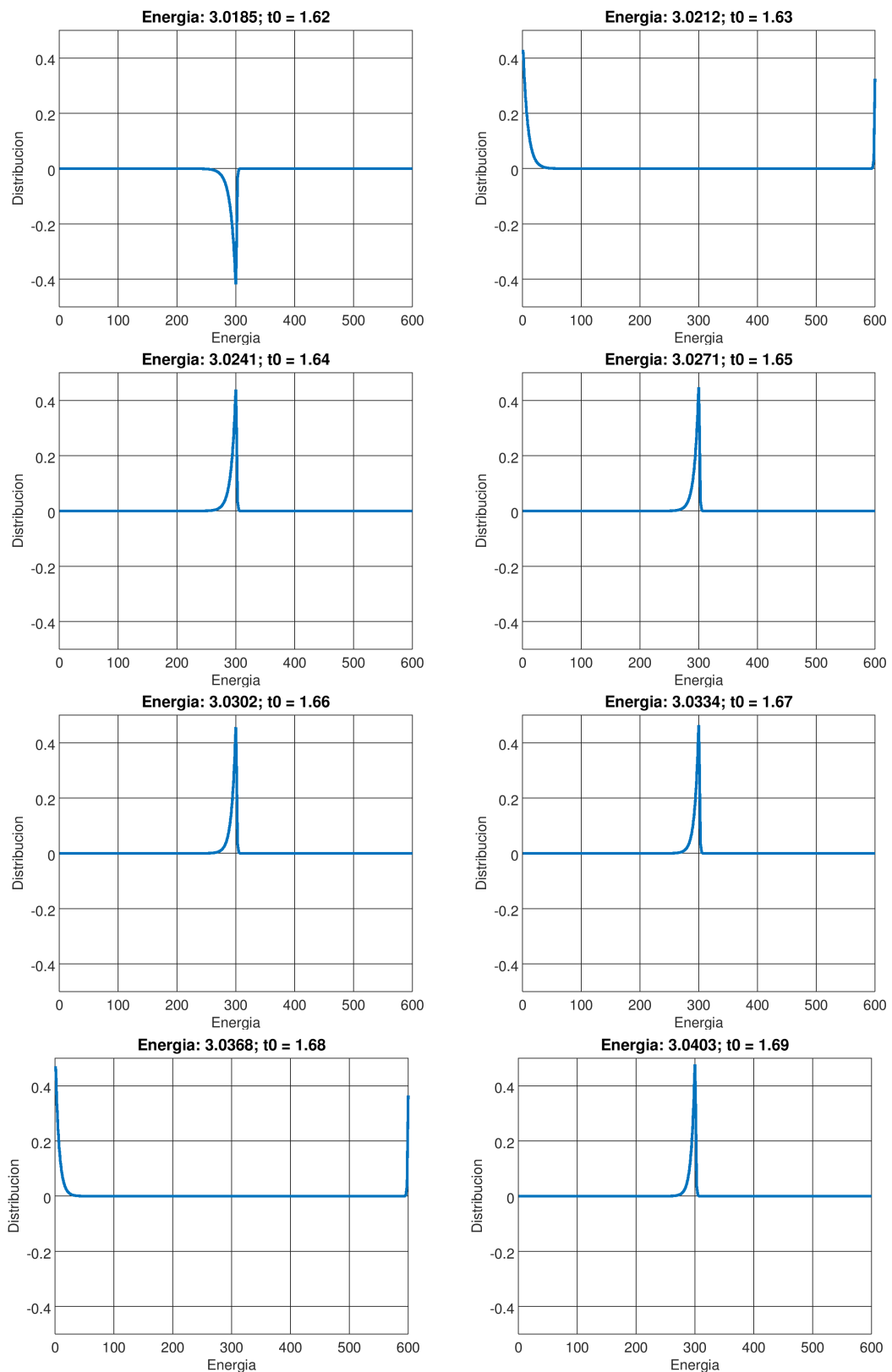
4. ANEXO IV: Evolución estado máxima energía











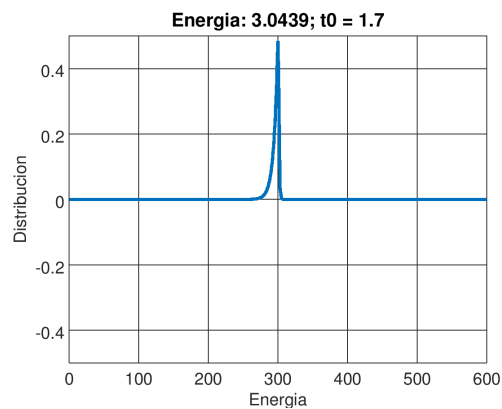


Figura 4.1: Evolución del estado de máxima energía de la banda de conducción en función del contacto.

5. ANEXO V: Casos concretos de la localización

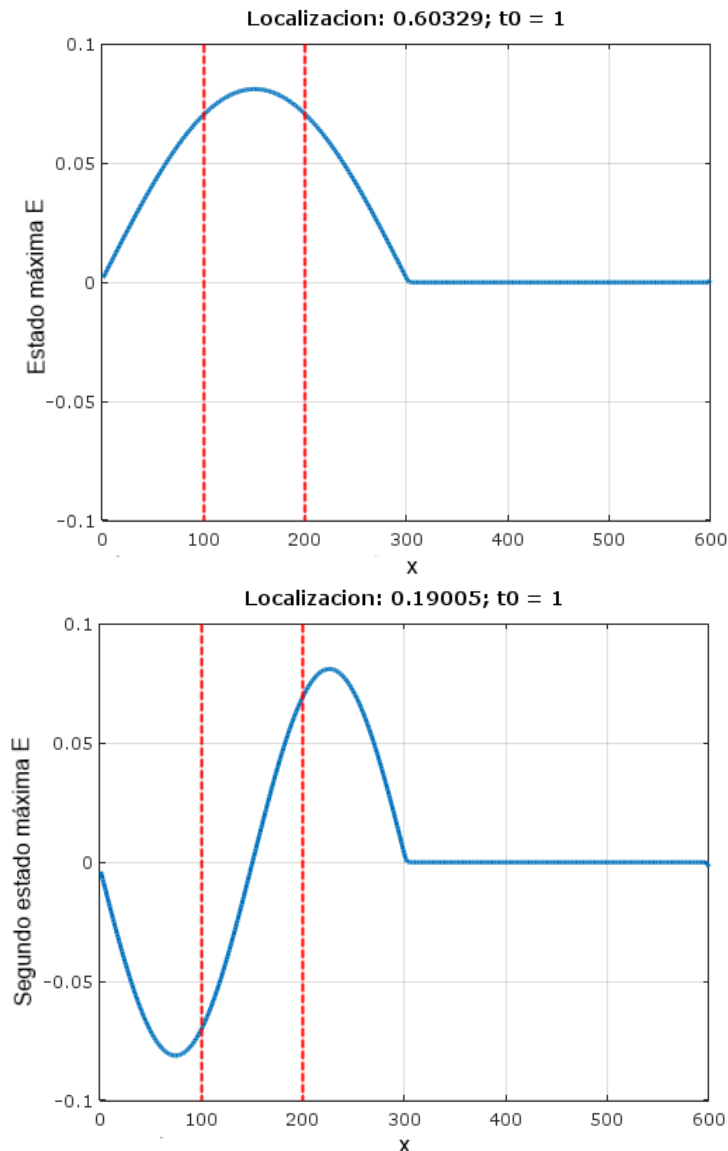


Figura 5.1: A pesar de que los estados están extendidos, el valor de su localización es distinto a $1/3$.

6. ANEXO VI: Anchura de la transición variable con N

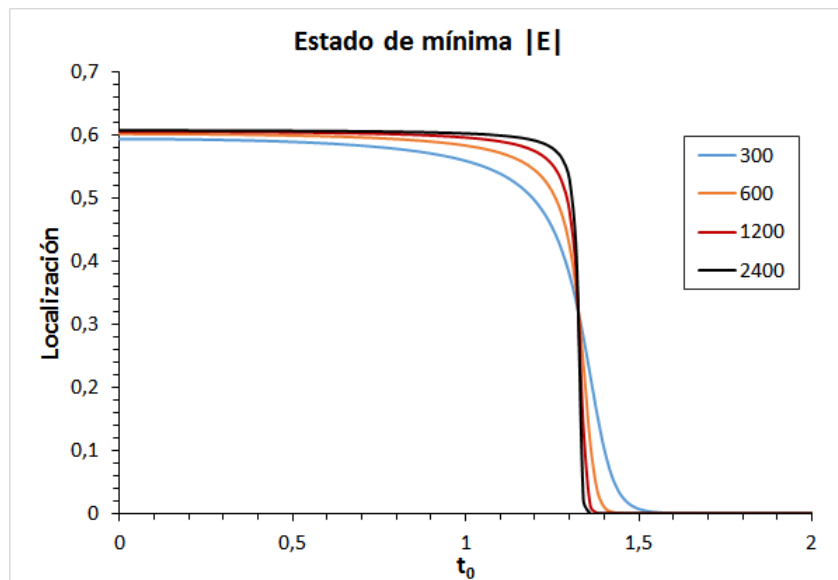


Figura 6.1: Evolución de la localización del estado de mínima energía de la banda de conducción.

7. ANEXO VII: Derivada de la energía en función del contacto

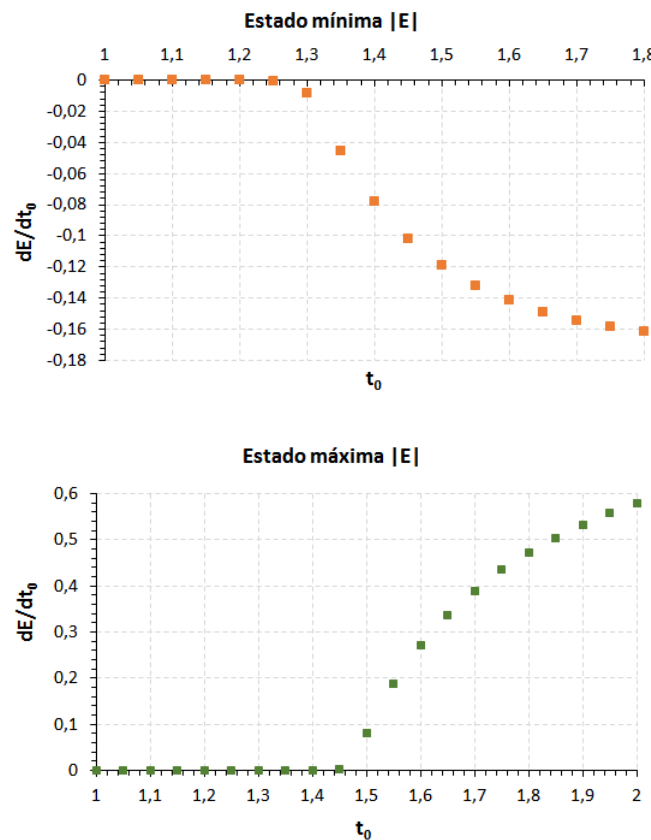


Figura 7.1: Arriba: evolución de la derivada de la energía del estado de mínima energía de la banda de conducción (301). Abajo: misma magnitud en el caso del estado de máxima energía (600)

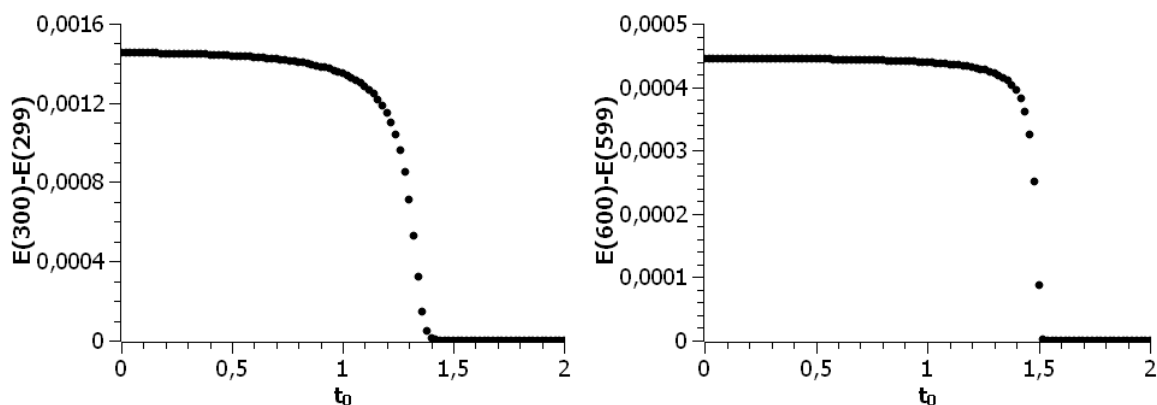
8. ANEXO VIII: Evolución del gap para $N = 600$ 

Figura 8.1: Izquierda: evolución del gap que existe entre los estados 300 y 299 en función del valor del contacto. Derecha: misma variación, pero para el caso de los estados 600 y 599.